

**ZÁPADOČESKÁ UNIVERZITA V PLZNI
FAKULTA ELEKTROTECHNICKÁ**

KATEDRA APLIKOVANÉ ELEKTRONIKY A TELEKOMUNIKACÍ

BAKALÁŘSKÁ PRÁCE

Bezdrátový systém přenosu dat

ZÁPADOČESKÁ UNIVERZITA V PLZNI

Fakulta elektrotechnická

Akademický rok: 2019/2020

ZADÁNÍ BAKALÁŘSKÉ PRÁCE (projektu, uměleckého díla, uměleckého výkonu)

Jméno a příjmení: **Jan RADA**
Osobní číslo: **E17B0092P**
Studijní program: **B2612 Elektrotechnika a informatika**
Studijní obor: **Elektronika a telekomunikace**
Téma práce: **Bezdrátový systém přenosu dat**
Zadávající katedra: **Katedra aplikované elektroniky a telekomunikací**

Zásady pro vypracování

Návrh a ověření systému pro bezdrátový přenos dat mezi mikrokontrolérem a osobním počítačem s obvody RFM02/868S2 (vysílač) a RFM01/868S2 (přijímač).

1. Popište možnosti bezdrátového přenosu dat mezi periferním zařízením a osobním počítačem.
2. Proveďte rozbor vlastností obvodů RFM01 a RFM02.
3. Navrhněte systém pro přenos dat mezi mikrokontrolérem a osobním počítačem.
4. Realizujte přenosový systém a ověřte jeho vlastnosti.

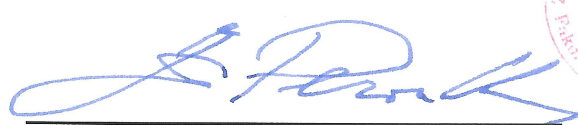
Rozsah bakalářské práce: **30 – 40 stran**
Rozsah grafických prací: **podle doporučení vedoucího**
Forma zpracování bakalářské práce: **tištěná/elektronická**

Seznam doporučené literatury:

1. http://www.tme.eu/cz/details/rfm02_868s2/komunikacni-moduly-rf/hope-microelectronics/rfm02-868s2/
2. http://www.tme.eu/cz/details/rfm01_868s2/komunikacni-moduly-rf/hope-microelectronics/rfm01-868s2/


Vedoucí bakalářské práce: **Prof. Ing. Milan Štork, CSc.**
Katedra aplikované elektroniky a telekomunikací

Datum zadání bakalářské práce: **4. října 2019**
Termín odevzdání bakalářské práce: **11. června 2020**



Prof. Ing. Zdeněk Peroutka, Ph.D.
děkan





Doc. Dr. Ing. Vjačeslav Georgiev
vedoucí katedry

Abstrakt

Práce se zabývá problematikou bezdrátového přenosu dat mezi dvěma mikrokontrolery a osobním počítačem, návrhem bezdrátového přenosového systému pro komunikaci mezi dvěma mikrokontrolery a osobním počítačem a jeho realizací. Důraz byl kladen na možnost budoucího použití v lékařství, konkrétně pro přenos dat z mobilního zařízení umístěném na pacientovi, které obsahuje tříosý akcelerometr a měřič EKG. V práci jsou porovnány různé metody bezdrátového přenosu dat z periférií do osobního počítače. Dále jsou blíže popsány vlastnosti obvodů RFM01 a RFM02 a dalších bezdrátových modulů.

Klíčová slova

komunikace mikrokontroleru a počítače, bezdrátový přenos dat, rádiový modul, klíčování frekvenčním posuvem (modulace FSK), klíčování amplitudovým posuvem (modulace ASK), Bluetooth, Wifi, CWUSB (certifikovaná bezdrátová univerzální sériová sběrnice), DASH7

Abstract

The task deals with issue about wireless data transfer between two microcontrollers and personal computer, design of wireless transmission system between two microcontrollers and personal computer and its implementation. Emphasis was placed on possibility to use in medicine in the future, specifically for a data transfer from a device placed on patient. This device should contain from three-axes accelerometer and ECG meter. In thesis are compared different methods of data transfer from peripheries to personal computer. The properties of RFM01 and RFM02 circuits and other modules are described in detail.

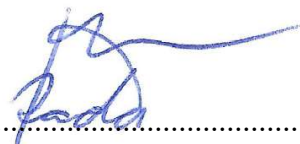
Key words

microcontroller and computer communication, data wireless transfer, radio module, Frequency-shift keying (FSK), Amplitude-shift keying (ASK), Bluetooth, Wi-Fi, Certified Wireless Universal Serial Bus (CWUSB), DASH7

Prohlášení

Prohlašuji, že jsem tuto bakalářskou práci vypracoval samostatně, s použitím odborné literatury a pramenů uvedených v seznamu, který je součástí této bakalářské práce.

Dále prohlašuji, že veškerý software, použitý při řešení této bakalářské práce, je legální.



.....
podpis

Obsah

Obsah.....	7
Úvod.....	9
Seznam symbolů a zkratk.....	10
1 Možnosti bezdrátového přenosu dat mezi periferiemi a osobním počítačem.....	12
1.1 Bluetooth.....	12
1.1.1 Popis technologie Bluetooth.....	12
1.1.2 Topologie.....	13
1.1.3 Struktura paketu.....	13
1.1.4 Výkonové třídy.....	14
1.1.5 Vývoj a verze Bluetooth.....	14
1.2 Wifi.....	16
1.2.1 Popis Wifi technologie.....	16
1.2.2 Topologie Wifi.....	16
1.2.3 Verze Wifi.....	17
1.3 Bezdrátové USB.....	19
1.4 DASH7.....	21
2 Vlastnosti bezdrátových modulů.....	22
2.1 Obvod RFM02.....	22
2.1.1 Popis vývodů RFM02.....	23
2.2 Obvod RFM01.....	23
2.2.1 Popis vývodů RFM01.....	25
2.3 Dvojice modulů XY-FST a XY-MK-5V.....	26
3 Návrh, realizace a ověření funkce bezdrátového systému pro přenos dat mezi mikrokontrolerem a osobním počítačem.....	28
3.1 Cíle realizace bezdrátového systému.....	28
3.2 Popis bezdrátové soustavy.....	28
3.2.1 Použití Nucleo32-F303K8.....	30
3.2.2 Použití RFM02 a RFM01.....	31
3.3 Popis fungování programů.....	32
3.3.1 Programový kód pro vysílací část systému.....	32
3.3.2 Programový kód pro přijímací část systému.....	36
3.4 Ověření funkce bezdrátového systému.....	40

3.4.1	Ověření funkce zobrazením hodnot na obrazovce počítače	40
3.4.2	Ověření funkce pilovým signálem.....	41
3.4.3	Ověření funkce přivedením externího signálu z funkčního generátoru	42
3.4.4	Ověření maximálního dosahu spojení	44
Závěr.....		46
Seznam použité literatury		47
Přílohy		1
A.	Příloha – Schéma zapojení vysílací části	1
B.	Příloha – Schéma zapojení přijímací části	2
C.	Příloha – Programový kód pro vysílací část.....	3
D.	Příloha – Programový kód pro přijímací část.....	12

Úvod

Předkládaná práce se zabývá problematikou bezdrátového přenosu dat mezi periferním zařízením a osobním počítačem. V první části práce jsou popsány různé možnosti bezdrátové komunikace – Wifi, Bluetooth, CW USB, DASH7. Dále jsou blíže popsány vlastnosti obvodů RFM01, RFM02, XY-FST a XY-MK-5V. V druhé části se práce zabývá návrhem bezdrátového přenosového systému pro komunikaci mezi dvěma mikrokontrolery a osobním počítačem s obvody RFM01 a RFM02. Tento systém byl navrhován tak, aby bylo možné jej v budoucnu použít pro přenos dat z mobilního zařízení umístěném na pacientovi, obsahující tříosý akcelerometr a měřič EKG. Soustava byla realizována a ověřena různými měřeními, které jsou součástí této práce. Celý systém je funkční a může být použit pro výše uvedené účely.

Seznam symbolů a zkratk

apod.	...	a podobně
tzv.	...	takzvaně
tzn.	...	to znamená
tj.	...	to jest
resp.	...	respektive
atd.	...	a tak dále
např.	...	například
log.	...	logická
PC	...	personal computer, tj. osobní počítač
ISM	...	Industrial Scientific Medicine, tj. nelicencované frekvenční pásmo
FHSS	...	Frequency Hopping Spread Spectrum, tj. klíčování kmitočtovým skákáním nosné vlny
FSK	...	Frequency Shift Keying, tj. klíčování fázovým posuvem
GFSK	...	Gaussian FSK, tj. Gaussovské FSK
GMSK	...	Gaussian Minimum Shift Keying, tj. Gaussovské klíčování minimálním frekvenčním posuvem
TDD	...	Time Division Duplex, tj. duplex s časovým dělením
IEEE	...	Institute of Electrical and Electronics Engineers
LTE	...	Long Term Evolution, tj. mobilní telefonní síť 4. generace
MAN	...	Metropolitan Area Network, tj. metropolitní síť
LAN	...	Local Area Network, tj. lokální síť
WLAN	...	Wireless LAN, tj. bezdrátová lokální síť
DSSS	...	Direct Sequence Spread Spectrum, tj. technika přímého rozprostřeného spektra
OFDM	...	Orthogonal Frequency Division Multiplexing, tj. ortogonální multiplex s frekvenčním dělením
MIMO	...	Multiple-input multiple-output, tj. více vstupů více výstupů
MU-MIMO	...	multi-user MIMO, tj. víceuživatelský MIMO
BSS	...	Base Service Station
IoT	...	Internet of things, tj. internet věcí
TWT	...	Target Wake Time

USB	...	Universal Serial Bus, tj. univerzální sériová sběrnice
CWUSB	...	Certified Wireless USB, tj. certifikované bezdrátové USB
UWB	...	Ultra Wide Band, tj. ultra široké frekvenční pásmo
HWA	...	Wire Host Adapter
DWA	...	Device Wire Adapter
ISO	...	International Organization for Standardization, tj. Mezinárodní organizace pro normalizaci
D7A	...	DASH7 Alliance Protocol
FCC	...	Federal Communications Commission, tj. Federální komunikační komise (USA)
ETSI	...	European Telecommunications Standards Institute, tj. Evropský ústav pro telekomunikační normy
SPI	...	Serial Peripheral Interface, tj. sériové periferní rozhraní
FIFO	...	First in, First out, tj. první dovnitř, první ven
RSSI	...	Received Signal Strength Indication, tj. indikátor síly přijímaného signálu
DQD	...	Data quality detection, tj. detekce kvality přijatých dat
AFC	...	Automatic frequency control, tj. automatické řízení frekvence
ASK	...	Amplitude-shift keying, tj. klíčování amplitudovým posuvem
VCP	...	Virtual COM Port, tj. virtuální komunikační port
COM	...	Communication port, tj. komunikační port
CPU	...	Central Processing Unit, tj. centrální procesorová jednotka
I ² S	...	Inter-IC Sound
USART	...	Universal Synchronous / Asynchronous Receiver and Transmitter, tj. Univerzální synchronní / asynchronní sériové rozhraní
CAN	...	Controller Area Network
RTC	...	Real-time clock, tj. hodiny reálného času
GPIO	...	General-purpose input / output, tj. Univerzální vstupní/výstupní pin
PLL	...	phase-locked loop, tj. fázový závěs
HSI	...	high-speed internal, tj. vnitřní vysokorychlostní hodiny

1 Možnosti bezdrátového přenosu dat mezi periferiemi a osobním počítačem

1.1 Bluetooth

Bluetooth je jeden z nejrozšířenějších způsobů propojení periferie a osobního počítače. Jedná se o open source standart pro bezdrátovou komunikaci s krátkým dosahem a nízkou spotřebou, propojující dvě nebo více elektronických zařízení [1].

1.1.1 Popis technologie Bluetooth

Bluetooth technologie měla za cíl nahradit sériové rozhraní RS-232 [1]. Využívá pásmo 2,4 GHz. To je v tzv. frekvenčním pásmu ISM (Industrial Scientific Medicine) tzv. nelicencované pásmo [2]. Největší výhodou tohoto pásma je, že není třeba žádat o přidělení frekvenčního pásma, ani platit poplatky za užívání s tím spojené [3]. Nevýhody tohoto pásma jsou především silná rušení způsobená jinými technologiemi pracujícími v tomto pásmu, jako například sítě Wifi 802.11 standardů b, g a n nebo mikrovlnné trouby [3, 4].

Aby se zmírnily vlivy tohoto nežádoucího rušení, a zároveň aby Bluetooth nerušilo jiné technologie pracující ve stejném frekvenčním pásmu, používá se pro komunikaci na fyzické vrstvě metoda s kmitočtovým skákáním nosné vlny FHSS (Frequency Hopping Spread Spectrum) [5]. Nosný kmitočet se za jednu sekundu změní celkem 1600krát v rámci pásma 2,4 GHz [5].

Spektrum Bluetooth tvoří celkem 79 rádiových kanálů od 2400 MHz do 2483,5 MHz [5]. Pro modulaci na každou nosnou frekvenci se používá šířka kanálu 1 MHz [5]. Dolní ochranné pásmo má šířku 2 MHz, horní 3,5 MHz [5]. Pro nosné kmitočty těchto kanálů platí vztah (1.1) [5]:

$$f = 2402 + 1000k \text{ [MHz]}, \text{ kde } k = 0, \dots, 78 \quad (1.1)$$

Všechny kanály se ale využívají jen zemích Evropy a dalších státech, a to kvůli národní legislativě. Pro ostatní státy se využívá druhá varianta systému. Šířka pásma Bluetooth je zde od 2446,5 do 2483,5 MHz [5]. Šířka kanálu je také 1 MHz a ochranná pásma (horní i dolní) jsou 7,5 MHz. Zde platí pro nosný kmitočet vztah (1.2) [5]:

$$f = 2454 + 1000k \text{ [MHz]}, \text{ kde } k = 0, \dots, 22 \quad (1.2)$$

Kódování jednotlivých symbolů se dělá modulací GMSK. GMSK je speciální případ GFSK s modulačním indexem 0,5 [4]. Logické úrovně jedničky nebo nuly se určují podle kladné, resp. záporné kmitočtové odchylky. Tato odchylka bývá v rozmezí 140 až 175 kHz, typicky 157,5 kHz [4].

Pakety přenášených dat se posílají v krátkých časových intervalech tzv. time slotech [5]. Využívají při tom metodu časového duplexu (TDD) [5]. Jak už bylo zmíněno výše, nosný kmitočet se mění 1600krát za sekundu. Z toho vyplývá, že doba vysílání na jedné nosné je $625 \mu\text{s}$ ($1/1600 = 625 \cdot 10^{-6}$) [4].

1.1.2 Topologie

Bluetooth zařízení se propojují do malých sítí nazývaných piconet [2]. Síť je zapojená tzv. do hvězdy (Star) a pracuje v režimu tzv. ad-hoc [2]. Síť se skládá z jednoho hlavního zařízení (Master) a z jednoho až sedmi aktivních podřízených zařízení (Slave) [2]. V rámci piconetu je fyzický rádiový kanál sdílen touto skupinou zařízení a zařízení jsou synchronizována společnými hodinami a vzorem pro FHSS, přičemž Master zařízení poskytuje synchronizační reference [2]. Například master zařízení může být smartphone a Slave zařízení mohou být chytré hodinky, sluchátka, autorádio apod.

Jedno zařízení může být Master pouze v jedné síti, ale není vyloučeno, aby bylo Slave v nějaké další [4]. Také je možné aby jedno zařízení bylo Slave ve více sítích zároveň [4]. Tímto způsobem se mohou sítě zvětšovat a řetězit. Takovým sítím se říká scatternet [4].

1.1.3 Struktura paketu

První část paketu je 72 bitů dlouhý přístupový kód, který je dán kombinací MAC adresy zařízení a hodinového taktu mater zařízení [6]. Dále je zde 54bitové záhlaví. Přístupový kód je unikátní pro každou síť piconet a kromě synchronizace slouží i k autorizovanému přístupu do sítě [6]. Celková délka paketu tak může být od 126 do 2871 bitů.



Obr. 1.1 Znárodnění paketu v síti Bluetooth [7]

1.1.4 Výkonové třídy

Další možností, jak snížit rušení v pásmu 2,4 GHz, je vhodná volba výkonnostní třídy zařízení. Tyto výkonové třídy jsou celkem tři a jsou uvedeny v Tab. 1.1. Výkonové úrovně jsou vztaženy k anténnímu konektoru Bluetooth zařízení.

Výkonové třídy	Maximální výstupní výkon	Nominální výstupní výkon	Minimální výstupní výkon
1	100 mW (20 dBm)	-	1 mW (0 dBm)
2	2,5 mW (4 dBm)	1 mW (0 dBm)	0,25 mW (-6 dBm)
3	1 mW (0 dBm)	-	-

Tab. 1.1 Výkonové třídy systému Bluetooth

1.1.5 Vývoj a verze Bluetooth

Vývojem technologie Bluetooth se zabývá soukromý podnik *Bluetooth Special Interest Group* [8]. Vznikl v roce 1998 ve spolupráci firem *Ericsson, IBM, Intel, Toshiba* a *Nokia* [1, 8]. V tabulce Tab. 1.2 jsou přehledně rozepsány jednotlivé verze Bluetooth a jejich základní vlastnosti. Bližší popis jednotlivých verzí viz níže.

Verze	Rok vydání	Rychlost	Dosah
Bluetooth 1.0	1999	721 kb/s	?
Bluetooth 2.0	2007	2,2 Mb/s	10 m
Bluetooth 3.0	2009	24 Mb/s	10 m
Bluetooth 4.0	2010	1 Mb/s	50 m (10 m)
Bluetooth 5.0	2016	125 kb/s, 500 kb/s, 1Mb/s, 2Mb/s	240 m (40 m)

Tab. 1.2 Přehled verzí Bluetooth [8]

1.1.5.1 Bluetooth 1.0

První verze měly spousty problémů především kvůli nekompatibilitě různých zařízení [1, 8]. U mobilních telefonů se Bluetooth vyskytovalo pouze u dražších zařízení střední a vyšší třídy [8].

1.1.5.2 Bluetooth 2.0

U druhé verze se zbezpečnilo a zjednodušilo párování zařízení, snížila se spotřeba energie [1, 8]. Bluetooth zařízení verze 2.0 byly ovšem použitelné u přenosu menších souborů, kvůli častým výpadkům spojení [8].

1.1.5.3 Bluetooth 3.0

U verze 3.0 bylo zmenšené riziko přerušení spojení, a tak už byla spolehlivě použitelná pro přenos objemnějších dat jako např. videí nebo hudby [8]. Byla také vybudována spolupráce se sítěmi Wifi, kdy se Bluetooth používalo pro navázání spojení mezi zařízeními a vysokorychlostní přenos dat se prováděl souběžně právě přes standart 802.11 [1, 8]. Teoretická hodnota rychlosti přenosu 24 Mb/s byla dosažitelná pouze právě v kombinaci se standardem Wifi, jinak byla přenosová rychlost značně nižší [1, 8].

1.1.5.4 Bluetooth 4.0

Cílem této verze nebylo nahradit předchozí verzi, ale vzájemně společně spolupracovat [1, 8]. Hlavním úkolem bylo snížit energetickou náročnost pro nenáročné datové přenosy (např. chytrých hodinek, handsfree apod.), čímž se mohla značně prodloužit výdrž těchto zařízení na jedno nabití [1, 8]. Naopak pro potřebu rychlého přenosu objemných dat se využívá předchozí verze Bluetooth 3.0 [1]. Dále byla v této verzi prodloužena přenosová vzdálenost ve volném prostoru až na 50 metrů a byl vyřešen problém s rušením LTE sítě [8].

1.1.5.5 Bluetooth 5.0

V této verzi byla znovu prodloužen dosah, a to až čtyřikrát. Ve volném prostoru se dosahuje vzdálenosti až 240 metrů a uvnitř budov až 40 metrů [1, 8]. Pro větší přenosové vzdálenosti se použije nižší přenosová rychlost a naopak. Bohužel se ale ztrácí zpětná kompatibilita s verzemi nižšími než 4.0 [8].

Ve verzi Bluetooth 5.1 z roku 2019 se zpřesnila navigace zařízení až na centimetry, a to i v uzavřených prostorech a byla opět snížena energetická náročnost [8].

Ve verzi Bluetooth 5.2 z roku 2020 byla ještě více snížena energetická náročnost a byla zvýšena bezpečnost, na kterou byl v této verzi kladen důraz [8].

1.2 Wifi

Wifi je nejčastěji používaná bezdrátová komunikační technologie, kterou v současnosti celosvětově využívá více než 13 miliard zařízení [9]. Jde o skupinu standardů založenou na IEEE 802.11 normě [10].

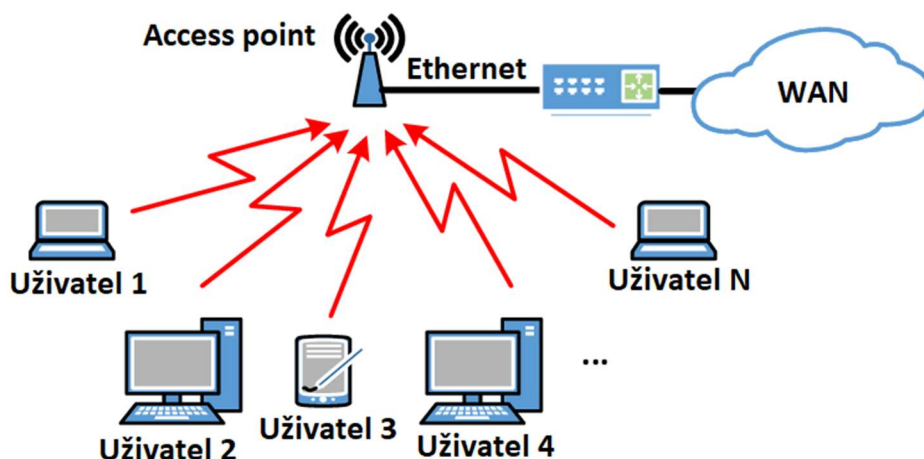
1.2.1 Popis Wifi technologie

Stejně jako technologie Bluetooth využívá i technologie Wifi tzv. nelicencované pásmo ISM. Výhody a nevýhody využití tohoto pásma jsou popsány v kapitole 1.1.1. Technologie Wifi je spravována neziskovou organizací *Wi-Fi Alliance*, která se skládá ze stovek světových společností [9]. Wifi měla za cíl nahradit klasickou kroucenou dvoulinku využívanou na propojování počítačových sítí LAN a MAN ve standardu Ethernet a propojit jednotlivé stanice bezdrátově [11]. Proto je také někdy označována jako WLAN (Wireless LAN) [11].

1.2.2 Topologie Wifi

Stejně jako v technologii Bluetooth spolu mohou zařízení komunikovat přímo (ad-hoc). Takto se dá například propojit tiskárna s osobním počítačem, aniž bychom museli mít doma vybudovanou Wifi síť. Takový způsob se ale používá jen zřídka.

Daleko častěji se Wifi používá v režimu infrastruktury, tj. připojení k síti přes přístupový bod tzv. Access point [12]. Některá zařízení dokonce umí pracovat jen v tomto režimu [12]. Síť je zapojená tzv. do hvězdy (Star) [12]. Access point může být pak připojen k routeru (v domácích sítích bývá AP přímo součástí routeru) a dále do sítě internet (WAN). Takovéto zapojení je znázorněno na *Obr. 1.2*.



Obr. 1.2 Znárodnění Wifi sítě s Access pointem

1.2.3 Verze Wifi

Wifi technologie nepracuje pouze v pásmu 2,4 GHz jako technologie Bluetooth, kde samozřejmě může docházet ke vzájemnému rušení těchto dvou a dalších technologií, ale i v dalších pásmech, např. 3,7 GHz, 5 GHz nebo nejnověji i 60 GHz (standard *IEEE 802.11ad* s názvem *WiGig*) [13, 14]. Standard *802.11* je soubor celé řady různých specifikací verzí Wifi, které se liší nejen frekvenčním pásmem, ale i použitou modulací a samozřejmě i vývojem této technologie, a kvůli odlišnostem národních legislativ je někdy nutné upravit i využití jednotlivých kanálů nebo vyzařovaný výkon. [13, 14]. Následuje popis některých variant Wifi. Parametry některých verzí jsou shrnuty v *Tab. 1.3*.

1.2.3.1 IEEE 802.11

Byl vytvořen v roce 1997 jako vůbec první WLAN standard [14]. Pro přenos na fyzické vrstvě se používala modulace DSSS (Direct Sequence Spread Spectrum, tj. technika přímého rozprostřeného spektra) a FHSS v pásmu 2,4 GHz [13, 14]. Kvůli své nízké datové propustnosti maximálně 2 Mb/s se dlouho nepoužíval a v současné době se nevyrábí žádná zařízení s tímto standardem [14]. Položil ale základ, ze kterého se vyvíjely všechny další specifikace Wifi [14].

1.2.3.2 IEEE 802.11b

IEEE 802.11b byl vydán v roce 1999 a je založen na původním standardu *IEEE 802.11* [14]. Pracuje ve stejném pásmu 2,4 GHz a jeho přenosová rychlost se zvedla na teoretických 11 Mb/s [14]. Využívá modulaci DSSS [13]. Ve volném prostranství má dosah až 140 m [11].

1.2.3.3 IEEE 802.11a

Byl vydán ve stejné době jako *IEEE 802.11b* (v roce 1999) [14]. Na rozdíl od tohoto standardu pracuje v kmitočtovém pásmu 5 GHz a je modulován OFDM (Orthogonal Frequency Division Multiplexing, tj. ortogonální multiplex s frekvenčním dělením) [13]. Kvůli vyšší frekvenci než *802.11b* se signál šíří hůře uvnitř budov, a tím má horší dosah (120 metrů), naopak má vyšší datovou propustnost – až 54 Mb/s [11, 14].

1.2.3.4 IEEE 802.11g

Tato verze v roce 2003 zkombinovala výhody standardů *802.11a* a *802.11b*. Využívá stejnou modulaci signálu jako *802.11a* a dosahuje stejné přenosové rychlosti 54 Mb/s, ale vysílá stejně jako *802.11b* na kmitočtu 2,4 GHz, což zlepšuje šíření signálu v budovách a zvětšuje dosah signálu [14]. Této specifikaci se také říká *Wi-Fi 3* [14].

1.2.3.5 IEEE 802.11n

Klíčovou vlastností dodatku *802.11n* je použití technologie MIMO (Multiple-input multiple-output) [14]. MIMO nevyužívá k přenosu dat pouze jednu anténu, jako předchozí verze, ale pro větší propustnost dat hned několik vysílacích a několik přijímacích antén [14]. Dále byla rozšířena šířka kanálu na 40 MHz [15]. Teoretická přenosová rychlost na fyzické vrstvě dosahuje 300 Mb/s, reálná rychlost se pohybuje okolo 130 Mb/s [15]. Ve standardech *802.11a/b/g* bylo vícecestné šíření vln bráno jako nežádoucí interference a snižovalo propustnost kanálu, kdežto u standardu *802.11n* se právě vícecestného šíření využívá ke zvýšení schopnosti přijímače obnovit původní informace v přeneseném signálu [15]. Využívá buď pásmo 2,4 GHz, kde může opět docházet k rušení od technologie Bluetooth, mikrovlnných trub, či bezdrátových telefonů, nebo 5 GHz [15]. Tato verze se také označuje jako *Wi-Fi 4* [14]. Je zpětně kompatibilní s předchozími verzemi *802.11b/g*, ovšem za snížené přenosové rychlosti [14].

1.2.3.6 IEEE 802.11ac

Tato verze se také označuje jako *Wi-Fi 5* [9]. *802.11ac* pracuje jak na frekvenci 2,4 GHz, tak zároveň i na 5 GHz, kdežto *802.11n* mohl pracovat jen na jedné z nich [9]. Na 5 GHz kmitočtu probíhá komunikace pro aplikace náročné na datový tok a na 2,4 GHz probíhá základní a rychlostně nenáročná komunikace [9]. Zvětšila se šířka kanálu na 80 MHz [9].

Využívá se zde technologie multi-user MIMO (MU-MIMO), kdy může jedno zařízení komunikovat s více zařízení současně, což u MIMO u *Wi-Fi 4* nebylo možné [9]. Díky tomu se také zvedl datový tok. Maximální teoretická přenosová rychlost na kmitočtu 5 GHz dosahuje 1,3 Gb/s, na kmitočtu 2,4 GHz 450Mb/s, reálná maximální rychlost je 720 resp. 240 Mb/s [16].

1.2.3.7 IEEE 802.11ax

Nejnovější standard označovaný jako *Wi-Fi 6* byl vydán v roce 2019 a s prvními výrobky na světovém trhu se počítá na začátku roku 2021 [9]. Stejně jako předchozí verze využívá technologii MU-MIMO [9]. Technologie pracuje nově i na 6 GHz, což umožnila změna legislativy v USA (tento kmitočet je tedy možné zatím využít pouze zde) [9]. Opět se zvětšila šířka kanálu, a to na 160 MHz [17]. Technologií Base Service Station Color (BSS Color) se minimalizují kolize resp. rušení více různých sítí *Wi-Fi 6* v jedné lokalitě, a tím se zvyšuje datová propustnost [17]. TWT (Target Wake Time) technologií se řídí, jak často mají zařízení probudit pro komunikaci, prodlužuje dobu spánku zařízení a podstatně zlepšují výdrž baterie mobilních zařízení a IoT zařízení [17]. Tato všechna vylepšení Wifi technologie zvýšila teoretickou maximální přenosovou rychlost až na 11 Gb/s [18].

IEEE standard	Označení	Rok vydání	Maximální rychlost [Mb/s]	Pásmo [GHz]	Fyzická vrstva
802.11	-	1997	2	2,4	DSSS a FHSS
802.11b	-	1999	11	2,4	DSSS
802.11a	-	1999	54	5	OFDM
802.11g	Wi-Fi 3	2003	54	2,4	OFDM
802.11n	Wi-Fi 4	2009	600	2,4 / 5	MIMO OFDM
802.11ac	Wi-Fi 5	2013	1750	2,4 a 5	MU-MIMO OFDM
802.11ax	Wi-Fi 6	2019	11000	2,4 a 5 / 6	MU-MIMO OFDM

Tab. 1.3 Přehled Wifi verzí [9, 13, 14, 17, 18]

1.3 Bezdrátové USB

Certified Wireless Universal Serial Bus (CWUSB), neboli certifikované bezdrátové USB, má za cíl, jak je z názvu zřejmé, nahradit klasické drátové rozhraní USB. První verze této technologie byla oficiálně vydána v květnu roku 2005 společností *Wireless USB Promoter Group* [19]. CWUSB je určeno pro připojení periférií stejně jako USB, např. tiskárny,

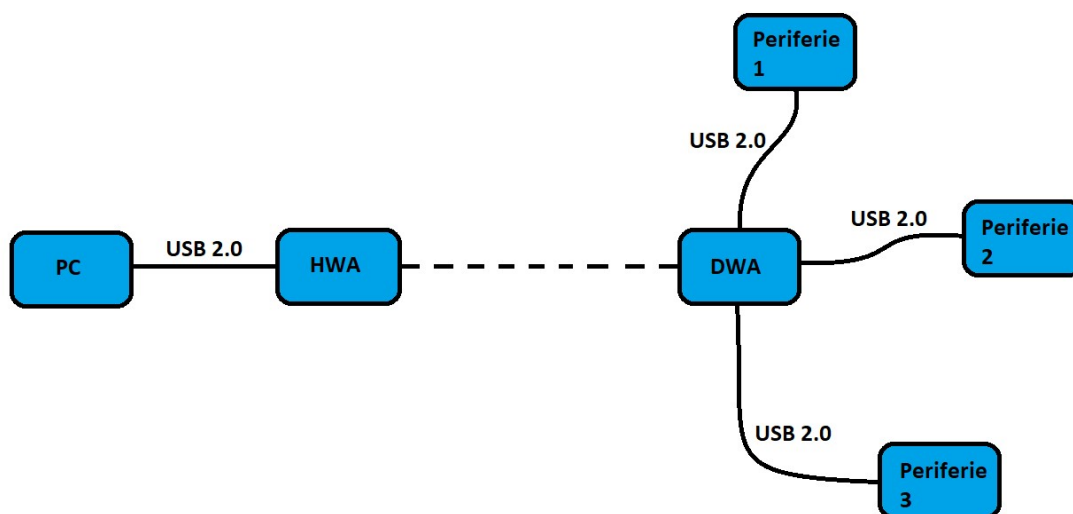
klávesnice, myši, externí grafické karty, datového uložště apod. do vzdálenosti 10 metrů [19]. Není určeno pro vytváření počítačových sítí, i když je to teoreticky možné [20].

Na rozdíl od Wifi nebo Bluetooth využívá CWUSB tzv. Ultra-wideband (UWB) [19]. Tato metoda bezdrátového přenosu dat na krátkou vzdálenost s velkou šířkou pásma a nízkým příkonem umožňuje bezpečné a vysokorychlostní připojení potřebné pro uživatelské prostředí podobné USB [19]. Na fyzické vrstvě je použito klíčování OFDM [19]. Komunikace používá kmitočty od 3,1 GHz do 10,6 GHz [21]. Vlastnosti přenosu jsou shodné jako u klasického USB 2.0, teoretická maximální přenosová rychlost dosahuje 480 Mb/s, pokud jsou zařízení vzdálena do 3 metrů, nebo 110 Mb/s při vzdálenosti do 10 metrů [21].

Pomocí CWUSB je možné propojit až 127 zařízení stejně jako USB, s tím rozdílem, že CWUSB samozřejmě nepotřebuje žádné rozbočovací huby [20]. Hlavní zařízení (Master), většinou PC, řídí celou komunikaci, ostatní klientská zařízení pouze odpovídají na požadavky [20].

Pro připojení periférií, které mají pouze USB, nikoliv CWUSB, slouží Wire Host Adapter (HWA) a Device Wire Adapter (DWA) [20]. HWA slouží jako bezdrátový modul pro Master zařízení, DWA slouží jako hub, do kterého se mohou připojit klientská zařízení [20]. Tyto moduly se připojují pomocí klasického USB. Tento způsob je znázorněn na *Obr. 1.3*.

Co se týče protokolů komunikace a ovladačů zařízení se od klasického USB nijak neliší, CWUSB řeší pouze fyzickou vrstvu [20].



Obr. 1.3 Připojení periférií pomocí HWA a DWA k PC

1.4 DASH7

Technologie DASH7 se zcela liší od výše zmíněných způsobů bezdrátového přenosu dat mezi zařízeními. DASH7 Alliance Protocol (D7A) je otevřený standart pro obousměrnou sub-gigahertzovou bezdrátovou komunikaci v ISM pásmu se středním dosahem [22]. Byl vydán v květnu roku 2015 [23]. Podporu existence a rozvoj dalších specifikací D7A zajišťuje nezisková vzájemně prospěšná organizace *The DASH7 Alliance* [22]. Záměrem této aliance je vylepšit technologii nad rámec svých současných schopností a fyzických hranic a umožnit tak zabezpečení, automatizaci a řídicí systémy pro mnoho prostředí [22]. DASH7 protokol je založen na normě *ISO 18000-7* [22].

D7A definuje komunikační mechanismus mezi koncovými uzly, senzory, alarmy, bránami, aktuátory apod. [22, 23]. Typické použití je takové, že senzory komunikují s uzly, a ty pak předávají data do brány pro přístup na internet [23]. Koncové uzly spolu mohou také komunikovat napřímo [23].

Komunikace probíhá na frekvencích 433, 868 nebo 915 MHz [23]. Šířka kanálu je 25 nebo 200 kHz [23]. Přenosová rychlost je 9,6 kb/s, 55,55 kb/s nebo 166,667 kb/s [23]. Maximální velikost paketu 256 bajtů [23]. Dosah ve volném prostředí bez překážek dosahuje až 5 km [23]. D7A vyplňuje mezeru mezi sítěmi s krátkým a dlouhým rozsahem [22]. D7A vyniká při použití v zastavěných městských částech a průmyslových oblastí s dosahem až 500 m [22]. Vyznačuje se malou latencí propojení pohybujících se zařízení a komunikací s velmi malou spotřebou. Senzory budou bezpečně vysílat hlášení událostí a akční členy mohou přijímat řídicí příkazy s typickou latencí 1 sekundy, přičemž v průměru odebírají pouze 30 μA [22].

2 Vlastnosti bezdrátových modulů

2.1 Obvod RFM02

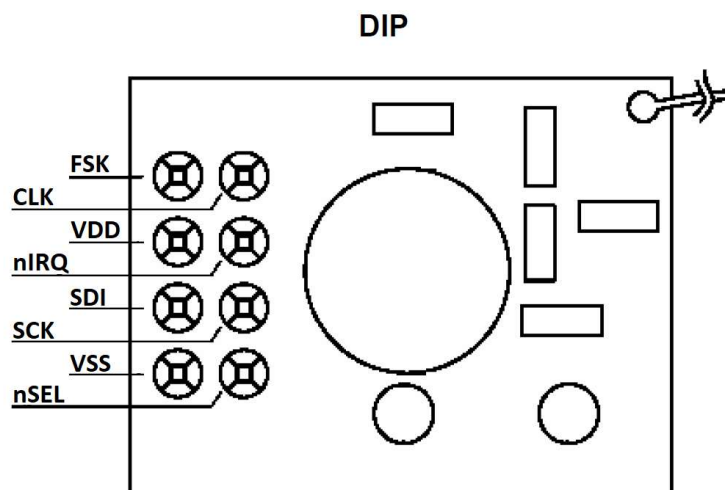
Obvod RFM02 je levný, ale zároveň vysoce funkční, vysoce integrovaný vysílací modul komunikující v nelicencovaném ISM pásmu [24]. Tento vysílací modul RFM02 pracuje s přijímacím modulem RFM01 [24]. Pracuje s FSK modulovaným signálem na frekvencích 433, 868 nebo 915 MHz v souladu s vyhláškami FCC i ETSI [24]. Pomocí rozhraní SPI lze komunikovat s mikrokontrolerem pro nastavení parametrů obvodu [24]. Ve volném prostoru může být dosah až 300 metrů na frekvenci 433 MHz, na frekvencích 868 a 915 MHz je dosah do 200 metrů [24]. Aby se minimalizovaly náklady, může čip poskytnout mikropočítači hodinový signál, čímž se vyhne nutnosti použití dvou krystalů [24]. Dvojice obvodů RFM02 a RFM01 mohou být použity pro dálkové ovládání hraček, bezdrátové alarmy, bezdrátové senzory, domácí automatizace nebo bezdrátové klávesnice a myši [24].

Další funkce RFM02 [24, 25]:

- stabilní a přesná modulace FSK s programovatelnou odchylkou
- fázový závěs s vysokým rozlišením
- napájecí napětí 2,2 až 5,4 V
- datový přenos až 115,2 kb/s
- programovatelný výstupní výkon až 8 dBm (6.3 mW)
- SPI rozhraní
- hodinový výstup pro mikrokontroler
- obvod s automatickým laděním antény
- programovatelná kapacita pro krystalový oscilátor
- detekce vybité baterie
- časovač probuzení
- nízká spotřeba
- nízký proud během stand-by režimu (0,3 μ A)

Jednotlivé specifikace modulů se značí: typ modulu – frekvence – typ pouzdra, např. RFM02-433-D znamená vysílací modul RFM02 operující na frekvenci 433 MHz v pouzdře DIP [24].

2.1.1 Popis vývodů RFM02



Obr. 2.1 Vývody modulu RFM02-433D [24]

Název	Typ	Funkce
FSK	vstup	vstup FSK dat
CLK	výstup	hodinový výstup pro externí mikrokontroler (1 MHz – 10 MHz)
VDD	zdroj	kladný pól napájení
nIRQ	výstup	interrupts request – příznak přerušení (aktivní v log. 0)
SDI	vstup	vstup SPI dat
SCK	vstup	hodiny SPI komunikace
VSS	zdroj	záporný pól napájení
nSEL	vstup	chip select – výběr obvodu (aktivní v log. 0)

Tab. 2.1 Popis vývodů modulu RFM02-433D [24]

2.2 Obvod RFM01

Obvod RFM01 je levný, ale zároveň vysoce funkční, vysoce integrovaný přijímací protějšek pro obvod RFM02 [26]. Pracuje s FSK modulovaným signálem na frekvencích 315, 433, 868 nebo 915 MHz v souladu s vyhláškami FCC i ETSI [26]. Pomocí rozhraní SPI lze komunikovat s mikrokontrolerem pro nastavení parametrů obvodu [26]. Společně s obvodem RFM02 může být použit pro dálkové ovládání hraček, bezdrátové alarmy, bezdrátové senzory, domácí automatizace nebo bezdrátové klávesnice a myši [26].

Modul dramaticky snižuje zatížení mikrokontroleru pomocí integrovaného digitálního zpracování dat: filtrování dat, obnovování hodin, rozpoznávání datových vzorů a integrovaná paměť FIFO [26]. Aby se minimalizovaly náklady celého zařízení, může čip poskytnout

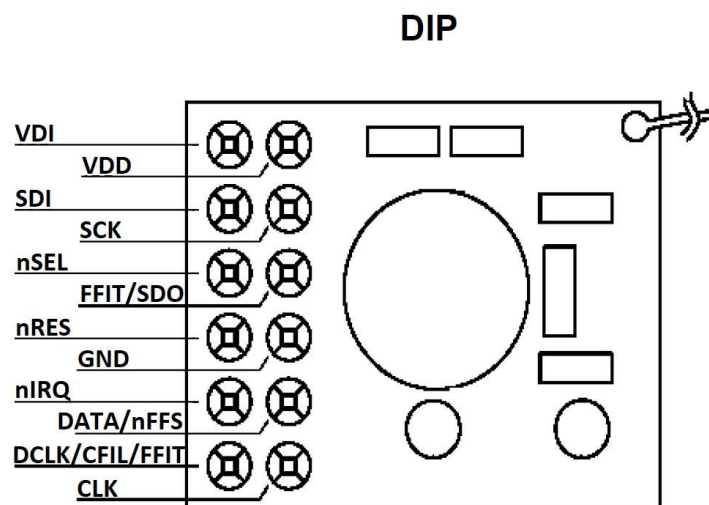
mikrokontroleru hodinový signál, čímž se vyhne nutnosti použití dvou krystalů [26]. Pro jednoduché aplikace může být přijímač RFM01 použit v samostatném provozním režimu a může tak fungovat bez mikrokontroleru [26]. Takto lze použít 12 nebo více předdefinovaných frekvenčních kanálů v kterémkoliv ze čtyř pásem [26].

Další funkce RFM01 [26, 27]:

- fázový závěs s vysokým rozlišením
- napájecí napětí 2,2 až 5,4 V
- vysoká přenosová rychlost (až 115,2 kb/s v digitálním režimu a 256 kb/s v analogovém režimu)
- citlivost -109 dBm
- programovatelná šířka základního pásma (67 až 400 kHz)
- analogové a digitální výstupy RSSI
- SPI rozhraní pro nastavení parametrů obvodu
- výstupní 16bitová FIFO
- detekce kvality přijatých dat (DQD)
- automatické řízení frekvence (AFC)
- hodinový výstup pro mikrokontroler
- programovatelná kapacita pro krystalový oscilátor
- detekce vybité baterie
- časovač probuzení
- nízká spotřeba (přibližně 9 mA v nízkých pásmech)
- provozní cyklus s nízkým příkonem (průměrný napájecí proud menší než 0,5 mA)
- nízký proud během stand-by režimu (0,3 μ A)

Jednotlivé specifikace modulů se značí: typ modulu – frekvence – typ pouzdra, např. RFM01-433-D znamená přijímací modul RFM01 operující na frekvenci 433 MHz v pouzdře DIP [26].

2.2.1 Popis vývodů RFM01



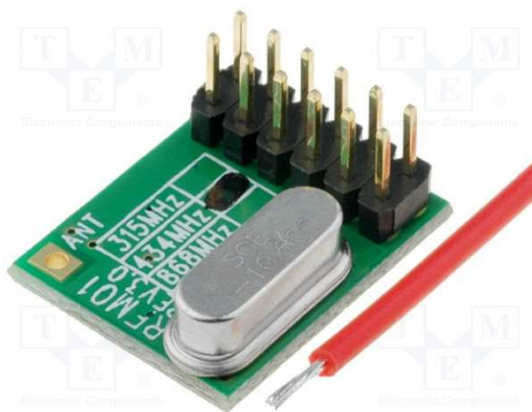
Obr. 2.2 Vývody modulu RFM01-433D [26]

Název	Typ	Funkce
VDI	výstup	valid data indicator – indikátor platných dat
VDD	zdroj	kladný pól napájení
SDI	vstup	vstup SPI dat
SCK	vstup	hodiny SPI komunikace
nSEL	vstup	chip select – výběr obvodu (aktivní v log. 0)
FFIT	výstup	přerušení naplnění FIFO (aktivní v log. 0)
SDO	výstup	čtení dat
nRES	výstup	reset (aktivní v log. 0)
GND	zdroj	zem
nIRQ	výstup	interrupts request – příznak přerušení (aktivní v log. 0)
DATA	výstup	data (režim bez FIFO)
nFFS	vstup	FIFO select – volba FIFO (aktivní v log. 0)
DCLK	výstup	hodinový výstup (režim bez FIFO)
CFIL	analog	externí filtrační kondenzátor (analogový režim)
FFIT	výstup	FIFO přerušení (aktivní v log. 1)
CLK	výstup	hodinový výstup pro externí mikrokontroler (1 MHz – 10 MHz)

Obr. 2.3 Popis vývodů modulu RFM01-433D [26]



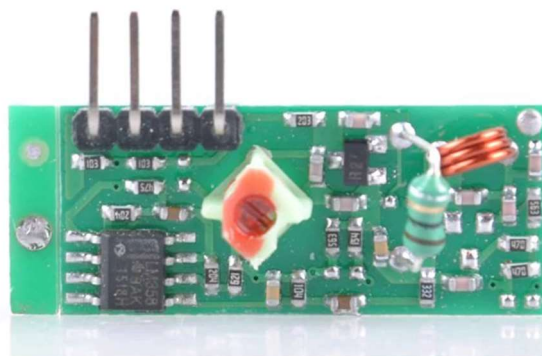
Obr. 2.4 Obvod RFM02-433-D [25]



Obr. 2.5 Obvod RFM01-433-D [27]



Obr. 2.6 Obvod XY-FST [30]



Obr. 2.7 Obvod XY-MK-5V [30]

2.3 Dvojice modulů XY-FST a XY-MK-5V

Sada vysílacího modulu XY-FST a přijímacího modulu XY-MK-5V je jedna z vůbec nejlevnějších variant bezdrátového přenosu dat [28]. Je určena pro použití v nejjednodušších aplikacích např. bezdrátový zvonek, bezdrátový teploměr apod. Každý modul má pouze tři piny: napájení, zem a data [29]. Pracuje v režimu modulace ASK [28]. Dvojice modulů komunikuje na frekvenci 315 nebo 434 MHz [29]. Dosah je 20 až 200 metrů [29]. Maximální přenosová rychlost dosahuje 9,6 kb/s [28, 29].

Další funkce XY-FST [29]:

- napájení 3 až 12 V
- vysílací výkon 14 dBm (25 mW)
- šířka pásma 2 MHz
- spotřeba 9 až 40 mA

Další funkce XY-MK-5V [29]:

- napájení 5 V
- spotřeba do 6 mA
- citlivost -100 dBm

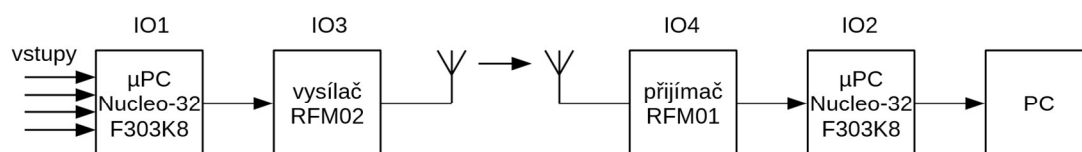
3 Návrh, realizace a ověření funkce bezdrátového systému pro přenos dat mezi mikrokontrolerem a osobním počítačem

3.1 Cíle realizace bezdrátového systému

Sestava bezdrátového přenosového systému byla navrhována tak, aby bylo možné její použití v lékařství. Zaměření bylo na možnost bezdrátového přenosu dat z mobilního zařízení, umístěném na pacientovi. Toto zařízení by mělo obsahovat tříosý akcelerometr a měřič EKG. Akcelerometr proto, aby mohl lékař vzdáleně ze svého PC sledovat, zda se pacient např. prochází, leží, či upadl apod. Měřič EKG pro sledování činnosti pacientova srdce. Celkem je tedy potřeba přenášet 4 soubory informací: EKG a tři osy akcelerometru. Akcelerometr ani měřič EKG není součástí této realizace, ani neproběhla žádná měření s těmito komponenty.

Pro vzorkování elektrokardiogramu pro analýzu ve frekvenční oblasti je možné použít vzorkovací frekvence 500 Hz i 250 Hz s výbornými výsledky [31]. Vzorkování s frekvencí 100 Hz už není přijatelné pro analýzu ve frekvenční oblasti, ale stále je použitelné pro analýzu v časové oblasti a pro Poincaréovy grafy [31]. Vzorkovací kmitočet 50 Hz už není přijatelný [31]. Požadavek na periodu měření akcelerometrem určitě není náročnější než na EKG.

3.2 Popis bezdrátové soustavy

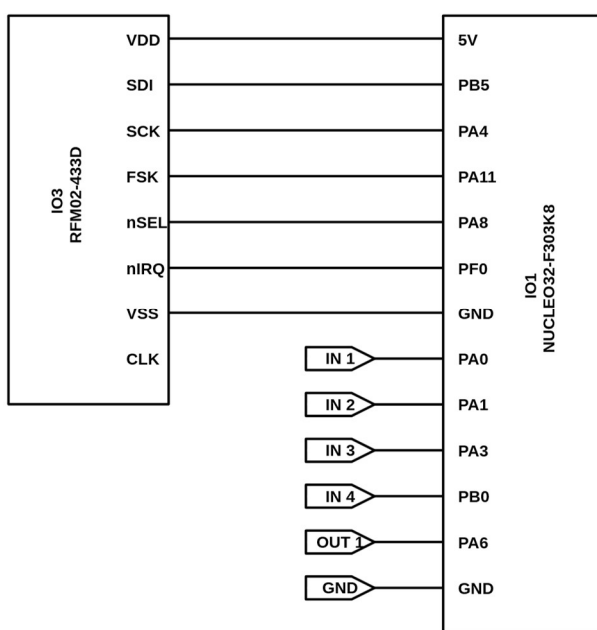


Obr. 3.1 Blokové schéma navrhovaného bezdrátového systému přenosu dat

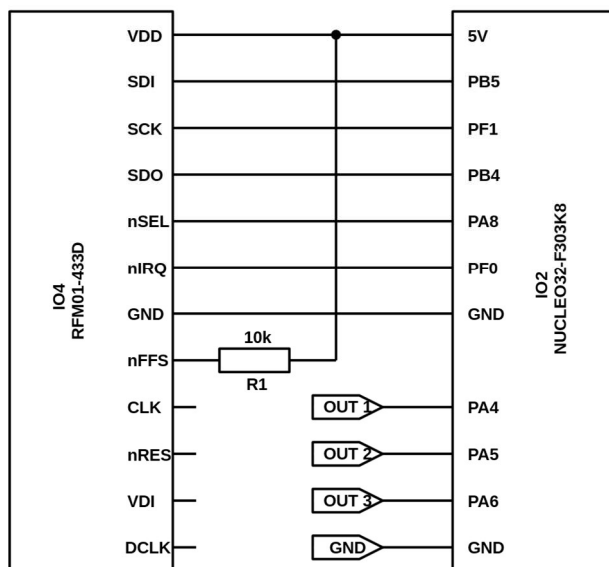
Navrhovaný bezdrátový systém přenosu dat je znázorněn blokovým schématem na Obr. 3.1. Pro ověření funkce systému a simulaci EKG a akcelerometru jsou na 4 vstupy přiváděny analogové signály. Tyto signály jsou převedeny A/D převodníkem na číselné hodnoty a dále zpracovány v mikropočítači *Nucleo32-F303K8*. Tato deska s mikrokontrolerem se stará jak o zpracovávání vstupních signálů, tak i o komunikaci s bezdrátovým modulem *RFM02-433D*.

Mikrokontroler posílá data do vysílače, který je vysílá v ISM pásmu 433 MHz. Až potud byla popsána vysílací část systému (v budoucnu umístěná na pacientovi).

V přijímací části u lékařského PC pak řetězec pokračuje přijímacím modulem *RFM01-433D*. Tento modul je ovládán druhým mikropočítačem stejného typu *Nucleo32-F303K8*, jako ten první. Mikrokontroler čte přijatá data z přijímacího bezdrátového modulu, zpracovává je a odesílá je po USART rozhraní a dále přes virtuální COM port (VCP) po USB rozhraní do PC. Po připojení k VCP se přijatá data v PC mohou nechat zobrazit v terminálu, případně se mohou vykreslit do grafů pomocí dalších systémových aplikací.



Obr. 3.2 Schéma zapojení vysílací části



Obr. 3.3 Schéma zapojení přijímací části

Kompletní schéma zapojení viz *Příloha A*, resp. *Příloha B*.

3.2.1 Použití Nucleo32-F303K8

Tato vývojová deska *Nucleo32-F303K8* od společnosti *STMicroelectronics* byla vybrána především pro svoji jednoduchost ovládání, komunikace a připojení, svoje malé rozměry, postačující výkon a relativně nízkou cenu. Srdcem desky je mikrokontroler *STM32F303K8T6* v pouzdře *LQFP32* [32].

Hlavními parametry tohoto jednočipového počítače [32]:

- ARM®32-bit Cortex®-M4 CPU s FPU
- maximální taktovací frekvence 72 MHz
- 64 kB Flash paměti
- 12 kB SRAM paměti
- 12bitový A/D převodník s 9 kanály
- 12bitový D/A převodník se 3 kanály
- SPI a I²S rozhraní
- USART rozhraní
- CAN rozhraní
- 25 GPIO portů s možností externího přerušení
- RTC krystal
- Časovače

Desku je možné připojit k PC pomocí USB-mikro B konektoru [32]. Zařízení se pak pro počítač tváří jako 3 zařízení: VCP, velkokapacitní uložisko a debug port [32]. Součástí desky je i druhý mikrokontroler, který řídí komunikaci po USB, debug, nahrávání programu apod [32].



Obr. 3.4 Nucleo32-F303K8 [32]

3.2.2 Použití RFM02 a RFM01

Jak již bylo zmíněno výše, systém je určen pro použití v lékařství. Dá se tedy očekávat, že se zařízení bude provozovat uvnitř budov na vzdálenosti 10 až 100 metrů. Společně s relativně nízkými nároky na datový tok se rádiové moduly *RFM02-433D* a *RFM01-433D* jeví jako nejlepší řešení. Kvůli nedostatečnému dosahu a zbytečné předimenzovanosti z pohledu datového toku je nevhodné používat technologii *Bluetooth* například s modulem *HC-05* [33]. Použití levných ASK modulů *XY-FST* a *XY-MK-5V* je nevhodné kvůli velmi nízkému datovému toku, dosahu a téměř žádné možnosti úpravy parametrů. RFM moduly se zde proto jeví jako ideální řešení. Parametry těchto modulů byly popsány v kapitole 2.1 *Obvod RFM02* a v kapitole 2.2 *Obvod RFM01*.

K těmto obvodům byla použita anténa *SW433-TH22*. Je to anténa určená pro frekvence 433 (± 8) MHz, vinutá z pozlaceného měděného drátu o průměru 0,5 mm, výškou 22 mm, maximálním výkonem 10 W, ziskem 2,15 dBi a vstupní impedancí 50 Ω [34, 35].



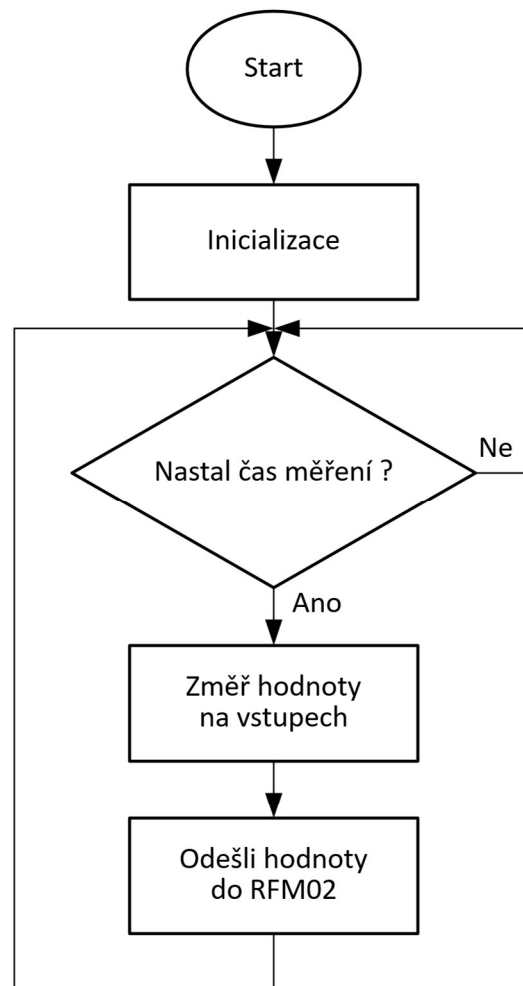
Obr. 3.5 Anténa SW433-TH22 [35]

3.3 Popis fungování programů

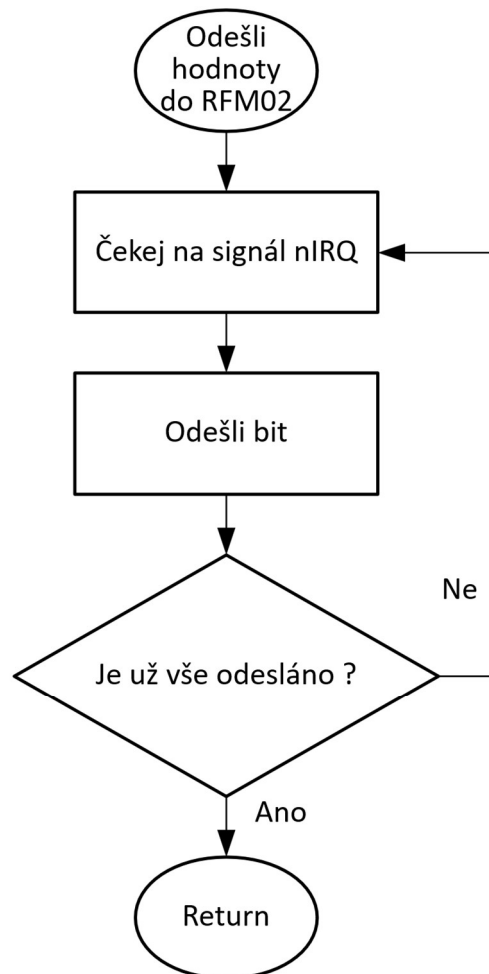
Programový kód byl prán v editoru *Atollic TrueSTUDIO for STM32 9.3.0* jazykem C. Celý kód je součástí *Příloha C* resp. *Příloha D*.

3.3.1 Programový kód pro vysílací část systému

Na *Obr. 3.6* je znázorněn vývojový diagram, podle kterého mikropočítač 1 vykonává svoji činnost. Na *Obr. 3.7* je blíže znázorněna funkce *Odešli hodnoty do RFM02*. Kompletní programový kód viz *Příloha C*.



Obr. 3.6 Vývojový diagram pro vysílání dat



Obr. 3.7 Vývojový diagram pro blok Odešli hodnoty do RFM02

V bloku Inicializace se provádí následující funkce. Funkce `PLLInit()` přenastavuje taktovací frekvenci mikrokontroleru z 8 MHz na 64 MHz pomocí integrovaného fázového závěsu (PLL) a vnitřního RC oscilátoru (HSI). Funkce `SysTick_Config()` nastavuje obsluhu vnitřního přerušení od SysTicku, které se používá k časování. Funkce `EXTI0Init()` nastavuje externí přerušení na lince 0 portu F. Funkce `USART2Init()` nastavuje sériovou komunikaci USART po VCP s PC. Rychlost komunikace je nastavena na 460800 Bd. Další funkce `SPI1Init()` nastavuje sériovou komunikaci SPI pro komunikaci s RFM02. Funkce `ADC1Init()` povoluje a nastavuje 12-bitový A/D převodník pro měření vstupních signálů. A/D převodník funguje v tzv. injected režimu. `DAC2Init()` je funkce, která nastaví 12-bitový D/A převodník pro vyvedení kontrolního pilového signálu. `TIM3Init()` inicializuje časovač

a povoluje přerušení programu. Časovač je nastaven na 1,85 ms. Během přerušení se provede A/D převod a inkrementuje se osmibitová proměnná *pila* pro generování pilového signálu. Vzorkovací frekvence je tedy 540 Hz a frekvence pilového signálu je 2,11 Hz.

Asi nejzajímavější inicializační funkcí je funkce `RFM02Init()`, která pomocí sériové komunikace SPI nastaví parametry obvodu *RFM02-433D*. Funkce je vypsána na *Obr. 3.8*. V prvním příkazu se čtou status registry obvodu RFM02. Tyto hodnoty nejsou nijak zaznamenávány. V dalším příkazu se nastavuje frekvenční pásmo, tj. 434 MHz, výstupní kmitočet hodinových pulzů CLK se nastavuje na 2 MHz, kapacita pro krystalový oscilátor se nastavuje na 11,5 pF, rozdíl značkové, resp. mezerové frekvence od nosné je nastaven na ± 60 kHz [24]. Příkazem na řádce 300 se nastavuje opět pásmo 434 MHz, tentokrát do jiného registru [24]. Některé hodnoty byly převzaty z příkladu programu uváděné výrobcem v katalogovém listu, jako např. kapacita kondenzátoru, šířka frekvenčního pásma apod. [24]. Datový tok je nastaven dalším příkazem na 57,6 kb/s. Hodnota zapsaná do registru se vypočte pomocí vztahu (3.1) [24]:

$$R = \frac{10\,000\,000}{BR} - 1 = \frac{10\,000\,000}{57\,600} - 1 \doteq 5 \quad (3.1)$$

Kde *R* je hodnota zapisovaná do registru, *BR* je datový tok. Následujícím příkazem je nastaven fázový závěs pro tuto hodnotu datového toku. Dále je příkazem povolena bitová synchronizace a zakázán Wake-up timer. Nakonec se posledním příkazem celé nastavení uzavře.

```

296 void RFM02Init(void)
297 {
298   WriteSPI(0xCC00);
299   WriteSPI(0x8B61);    // 433 band, +/- 90 kHz
300   WriteSPI(0xA640);    // 434 MHz
301   WriteSPI(0xC805);    // 57.6 kbps
302   WriteSPI(0xD200);    // 57.6 kbps
303   WriteSPI(0xC220);    // en bit sync
304   WriteSPI(0xC001);    // close all
305
306
307   Nucleo_SetPinGPIO(FSK, ioPortOutputPP);
308   GPIOWrite(FSK, false);
309 }

```

Obr. 3.8 Úryvek z programového kódu – funkce RFM02Init()

Odesílání dat se provádí vždy až po třech převodech A/D na všech čtyřech kanálech. Najednou se tedy odesílá celkem 12 hodnot po 16 bitech. Je to uděláno proto, aby se odesílalo

více hodnot najednou a ušetřilo se odesílání režijních znaků pro začátek a konec vysílání. Vysílání ukončuje odeslání kontrolního součtu všech 12 hodnot. O odesílání dat se stará funkce `RFMSendMessage()` viz *Obr. 3.9*.

Na začátku se pošle po SPI příkaz `C038h`, pro spuštění taktovacích pulzů na pinu `nIRQ`. Vždy při sestupné hraně taktovacího signálu `nIRQ` vysílač přečte logickou hodnotu na pinu FSK a vyšle ji [24]. Tyto pulzy mají kmitočet 57,6 kHz odpovídající datovému toku 57,6 kb/s. Potom se odesílají (už po pinu FSK) tři bajty `AA` jako preamble. Je to střídání log. 1 a log. 0 vždy po jednom taktu hodin pro synchronizaci [24]. Následují bajty `2D` a `D4`, podle kterých přijímač pozná, že vysílaná data jsou určena právě jemu [24]. Dále, jak už bylo zmíněno výše, následují datové bajty. Těch je 24. Potom se posílá vyšší bajt kontrolního součtu počítaném v 16-bitové proměnné `ChkSum`. Nakonec se pošle dummy bajt `AA` po FSK pinu a vysílání je ukončeno příkazem `C001h` po SPI rozhraní [24]. Celkem je tedy v jedné zprávě odesláno 31 B, z toho 24 B jsou užitečná data, zbytek jsou režijní znaky. Při periodickém vysílání každých 5,55 ms je skutečný datový tok 34,56 kb/s (podle rovnice (3.2)). Jednotlivé bajty se odesílají funkcí `RFMSendByte()`. Funkce je vypsána na *Obr. 3.10*.

$$BR = \frac{1}{3 \cdot 1,85 \cdot 10^{-1}} \cdot 24 \cdot 8 = 34560 \text{ [b/s]} \quad (3.2)$$

```
325 void RFMSendMessage(uint16_t *message)
326 {
327     uint16_t ChkSum = 0;           // kontrolni soucet
328
329     WriteSPI(0xC038);             // start Tx po FSK pinu
330
331     uint32_t j;
332     for(j = 0; j < 1500; j++)
333         ;
334
335     RFMSendByte(0xAA);           // Preamble
336     RFMSendByte(0xAA);           // Preamble
337     RFMSendByte(0xAA);           // Preamble
338
339     RFMSendByte(0x2D);           // Synchron pattern
340     RFMSendByte(0xD4);           // Synchron pattern
341
342     int i;
343     for(i = 0; i < 12; i++)
344     {
345         RFMSendByte(message[i] / 256);
346         RFMSendByte(message[i] % 256);
347         ChkSum += message[i];
348     }
349
350     RFMSendByte(ChkSum / 256);
351
352     RFMSendByte(0xAA);           // konec odesilani
353
354     WriteSPI(0xC001);           // konec Tx po FSK pinu
355 }
```

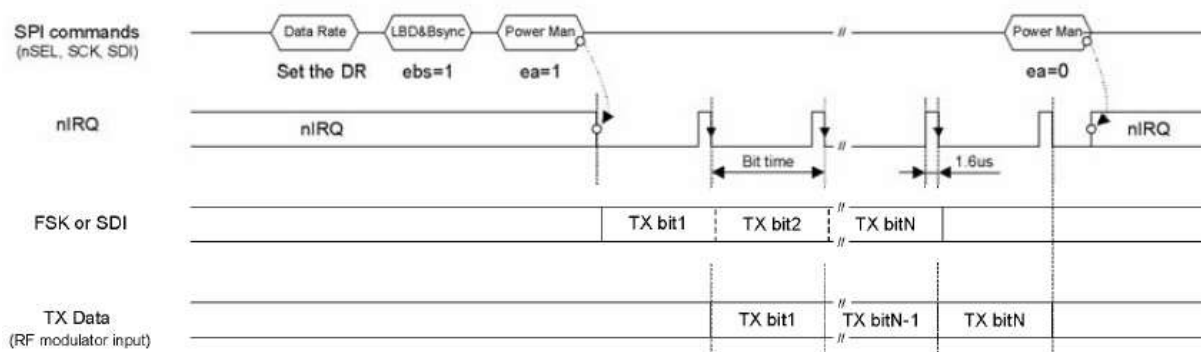
Obr. 3.9 Úryvek z programového kódu – funkce `RFMSendMessage()`

```

311 void RFMSendByte(uint8_t aByte)           // BLOKUJICI FUNKCE !!!
312 {
313     int i = 0;
314     for(i = 0; i < 8; i++)
315     {
316         while(!nIRQsignal)                 // cekani na nIRQ
317             ;
318
319         nIRQsignal = false;                 // shodit priznak nIRQ
320         GPIOwrite(FSK, (aByte & 0x80) != 0); // maska 1000 0000
321         aByte <<= 1;                       // bitovy posun
322     }
323 }

```

Obr. 3.10 Úryvek z programového kódu – funkce *RFMSendByte()*

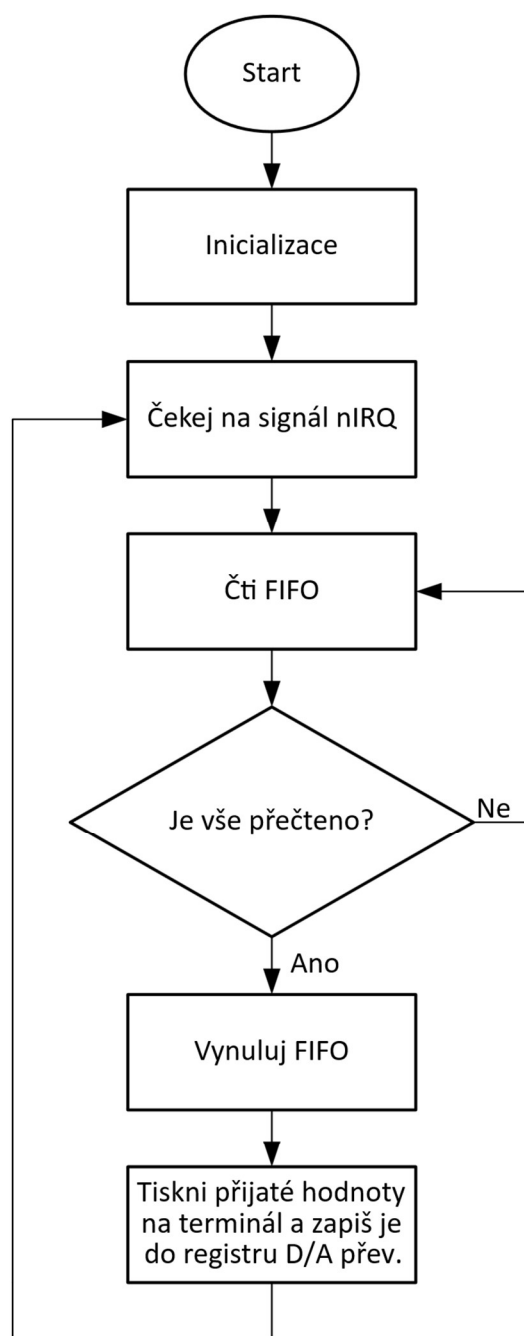


Obr. 3.11 Časový diagram pro vysílání dat [24]

3.3.2 Programový kód pro přijímací část systému

Na Obr. 3.12 je znázorněn vývojový diagram, podle kterého mikropočítač 2 vykonává svoji činnost. Kompletní programový kód viz Příloha D.

V bloku Inicializace se provádějí některé funkce stejné nebo velmi podobné jako ve vysílací části (viz kapitola 3.3.1). Jsou to funkce *PLLInit()*, *Usart2Init()*, *SPI1Init()*, *TIM3Init()* a *DAC2Init*. Navíc zde přibyly funkce *DAC1Init()* pro nastavení dvoukanálového 12-bitového D/A převodníku a funkce *RFM01Init()*, která pomocí sériové komunikace SPI nastaví parametry obvodu *RFM01-433D* podobně jako funkce *RFM02Init()* u vysílací části.



Obr. 3.12 Vývojový diagram pro příjem dat

```
328 void RFM01Init(void)
329 {
330   WriteSPI(0x0000);
331   WriteSPI(0x898A);      // 433 band, 134 kHz
332   WriteSPI(0xA640);     // 433 MHz
333   WriteSPI(0xC805);     // 57.6 kbps
334   WriteSPI(0xC69B);     // AFC setting
335   WriteSPI(0xC42A);     // Clock recovery manual control, Digital filter DQD=4
336   WriteSPI(0xC240);     // output 1.66 MHz
337   WriteSPI(0xC080);
338   WriteSPI(0xCE88);     // use FIFO
339   WriteSPI(0xCE8B);
340   WriteSPI(0xC081);     // open Rx
341
342   Nucleo_SetPinGPIO(SD0, ioPortInputPU);
343   Nucleo_SetPinGPIO(nIRQ, ioPortInputPU);
344 }
```

Obr. 3.13 Úryvek z programového kódu – funkce *RFM01Init()*

Na Obr. 3.13 je vypsána funkce *RFM01Init()*. Podobně jako ve vysílací části se zde nastavují řídicí registry po rozhraní SPI. Prvním příkazem se přečte status registr, ale s přečtenými hodnotami se nijak nenakládá [26]. Dále na řádce 331 se nastavuje pásmo 434 MHz, povoluje se krystalový oscilátor, kapacita je nastavena na 12,5 pF, šířka základního pásma je nastavena na 134 kHz [26]. Na dalším řádku se opět nastavuje pásmo 434 MHz [26]. Dalším příkazem se nastavuje datový tok na 57,6 kb/s [26]. Hodnota do registru se opět vypočte podle vztahu (3.1) [26]. Dále je nastaven registr automatického řízení frekvence (AFC). Nastavuje se zde řízení mikrokontrolerem, rozsah frekvenční odchylky -16 až +15 kHz, AFC bez zvýšené přesnosti, a nakonec se celé AFC povolí [26]. Další příkaz nastaví manuální obnovení hodin a digitální filtr [26]. Potom se nastavují hodiny na kmitočet 1,66 MHz [26]. Následně se nastaví indikátor platných dat (VDI), zisk předzesilovače na 0 dBm, indikátor síly přijímaného signálu DRSSI na -103 dBm, a zakáže se přijímač [26]. Dalšími dvěma příkazy se povolí FIFO, nastaví se jeho délka na 8 bitů, nastaví se začátek přijímaných dat na synchronizační bajty a vymaže se obsah FIFO [26]. Nakonec se příkazem povolí přijímač [26]. Některé hodnoty byly převzaty z příkladu programu uváděné výrobcem v katalogovém listu, jako např. kapacita kondenzátoru, šířka frekvenčního pásma, délka FIFO, rozsah apod [26].

O čtení FIFO se stará funkce *RFM01ReadFIFO()* vypsána na Obr. 3.14. Tato funkce přečte vždy jeden přijmutý bajt.

Velice důležité pro správný přenos tvaru signálu je přesné časování jak na straně přijímače, tak vysílače. To je zajištěno u obou částí systému přerušením programu od časovače TIM3,

kteřý je nastaven na 1,85 ms. Zatímco ve vysílači se měří A/D převodníkem hodnoty analogových vstupů na všech čtyřech kanálech najednou a až po třech těchto měřeních v čase jsou data odeslána, na straně přijímače se postupně v čase tyto čtveřice hodnot odesílají do D/A převodníku.

```
346 uint8_t RFM01ReadFIFO(void)
347 {
348     uint8_t i, Result;
349     GPIOWrite(SCK, false);
350     GPIOWrite(SDI, false);
351     GPIOWrite(nSEL, false);
352
353     for(i = 0; i < 16; i++) // preskoc status bity
354     {
355         GPIOWrite(SCK, true);
356         GPIOWrite(SCK, true);
357         GPIOWrite(SCK, false);
358         GPIOWrite(SCK, false);
359     }
360
361     Result = 0;
362     for(i = 0; i < 8; i++)
363     {
364         Result <<= 1;
365         if(GPIORead(SDO))
366         {
367             Result |= 1;
368         }
369         GPIOWrite(SCK, true);
370         GPIOWrite(SCK, true);
371         GPIOWrite(SCK, false);
372         GPIOWrite(SCK, false);
373     }
374
375     GPIOWrite(nSEL, true);
376     return Result;
377 }
```

Obr. 3.14 Úryvek z programového kódu – funkce RFM01ReadFIFO()

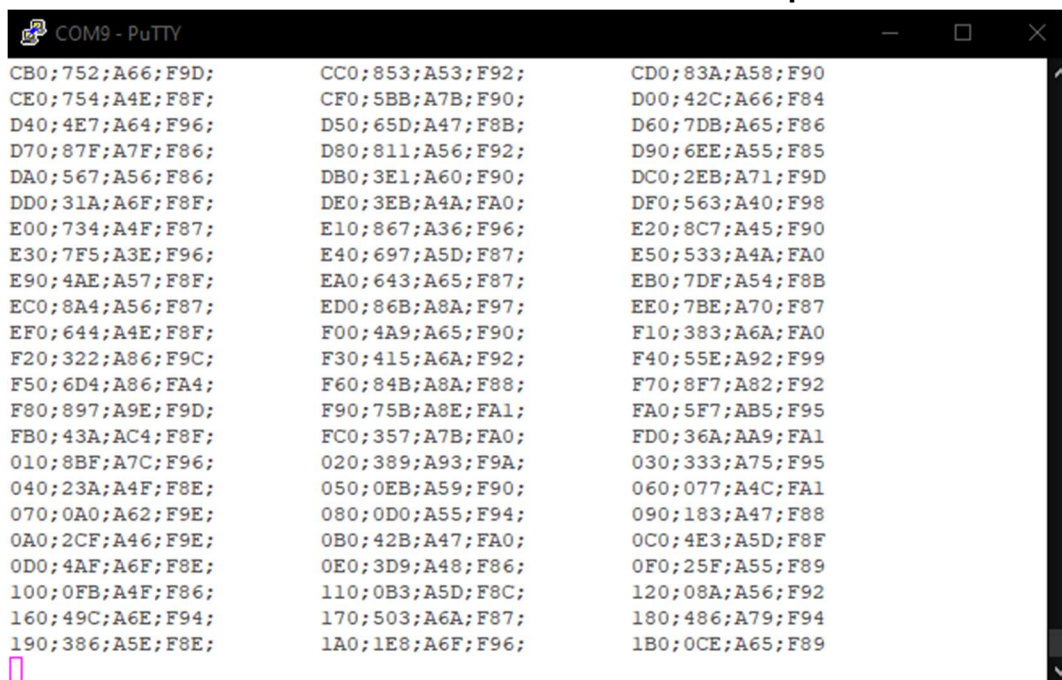
Ochrana proti příjmu nesprávných dat je řešena dvěma způsoby: jednak se porovnává kontrolní součet všech přenášených bajtů, jednak je na první čtyři nevyužité bity prvního kanálu přidána hodnota A, která se při přijetí dat kontroluje. Nevyužité proto, že A/D i D/A převodníky jsou 12-bitové, ale jsou ukládány v 16-bitové proměnné. Výhoda kontroly znaku A na začátku zprávy je taková, že jsou ihned rozpoznána špatná data, tím se ihned vymaže FIFO, aby byla připravena na další příjem dat, a nemusí se přijímat celá špatná zpráva a tím zdržovat mikropočítač.

3.4 Ověření funkce bezdrátového systému

Při měřeních byly použity tyto přístroje:

- čtyřkanálový osciloskop Agilent Technologies InfiniiVision DS07034A 350 MHz 2GSa/s
- funkční generátor HEWLETT PACKARD 33120A 15 MHz

3.4.1 Ověření funkce zobrazením hodnot na obrazovce počítače

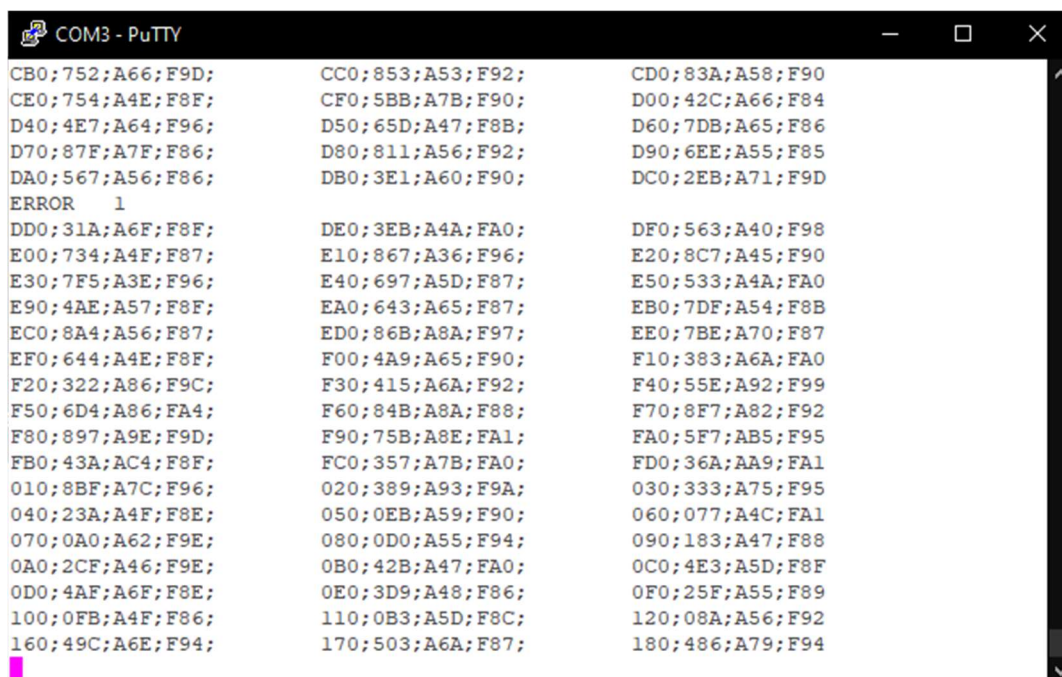


```

COM9 - PuTTY
CB0;752;A66;F9D;    CC0;853;A53;F92;    CD0;83A;A58;F90
CE0;754;A4E;F8F;    CF0;5BB;A7B;F90;    D00;42C;A66;F84
D40;4E7;A64;F96;    D50;65D;A47;F8B;    D60;7DB;A65;F86
D70;87F;A7F;F86;    D80;811;A56;F92;    D90;6EE;A55;F85
DA0;567;A56;F86;    DB0;3E1;A60;F90;    DC0;2EB;A71;F9D
DD0;31A;A6F;F8F;    DE0;3EB;A4A;FA0;    DF0;563;A40;F98
E00;734;A4F;F87;    E10;867;A36;F96;    E20;8C7;A45;F90
E30;7F5;A3E;F96;    E40;697;A5D;F87;    E50;533;A4A;FA0
E90;4AE;A57;F8F;    EA0;643;A65;F87;    EB0;7DF;A54;F8B
EC0;8A4;A56;F87;    ED0;86B;A8A;F97;    EE0;7BE;A70;F87
EF0;644;A4E;F8F;    F00;4A9;A65;F90;    F10;383;A6A;FA0
F20;322;A86;F9C;    F30;415;A6A;F92;    F40;55E;A92;F99
F50;6D4;A86;FA4;    F60;84B;A8A;F88;    F70;8F7;A82;F92
F80;897;A9E;F9D;    F90;75B;A8E;FAL;    FA0;5F7;AB5;F95
FB0;43A;AC4;F8F;    FC0;357;A7B;FA0;    FD0;36A;AA9;FAL
O10;8BF;A7C;F96;    O20;389;A93;F9A;    O30;333;A75;F95
O40;23A;A4F;F8E;    O50;0EB;A59;F90;    O60;077;A4C;FAL
O70;0A0;A62;F9E;    O80;0D0;A55;F94;    O90;183;A47;F88
OA0;2CF;A46;F9E;    OB0;42B;A47;FA0;    OC0;4E3;A5D;F8F
OD0;4AF;A6F;F8E;    OE0;3D9;A48;F86;    OF0;25F;A55;F89
100;0FB;A4F;F86;    110;0B3;A5D;F8C;    120;08A;A56;F92
160;49C;A6E;F94;    170;503;A6A;F87;    180;486;A79;F94
190;386;A5E;F8E;    1A0;1E8;A6F;F96;    1B0;0CE;A65;F89

```

Obr. 3.15 Odeslaná data vysílačem zobrazená na terminálu PC



```

COM3 - PuTTY
CB0;752;A66;F9D;    CC0;853;A53;F92;    CD0;83A;A58;F90
CE0;754;A4E;F8F;    CF0;5BB;A7B;F90;    D00;42C;A66;F84
D40;4E7;A64;F96;    D50;65D;A47;F8B;    D60;7DB;A65;F86
D70;87F;A7F;F86;    D80;811;A56;F92;    D90;6EE;A55;F85
DA0;567;A56;F86;    DB0;3E1;A60;F90;    DC0;2EB;A71;F9D
ERROR 1
DD0;31A;A6F;F8F;    DE0;3EB;A4A;FA0;    DF0;563;A40;F98
E00;734;A4F;F87;    E10;867;A36;F96;    E20;8C7;A45;F90
E30;7F5;A3E;F96;    E40;697;A5D;F87;    E50;533;A4A;FA0
E90;4AE;A57;F8F;    EA0;643;A65;F87;    EB0;7DF;A54;F8B
EC0;8A4;A56;F87;    ED0;86B;A8A;F97;    EE0;7BE;A70;F87
EF0;644;A4E;F8F;    F00;4A9;A65;F90;    F10;383;A6A;FA0
F20;322;A86;F9C;    F30;415;A6A;F92;    F40;55E;A92;F99
F50;6D4;A86;FA4;    F60;84B;A8A;F88;    F70;8F7;A82;F92
F80;897;A9E;F9D;    F90;75B;A8E;FAL;    FA0;5F7;AB5;F95
FB0;43A;AC4;F8F;    FC0;357;A7B;FA0;    FD0;36A;AA9;FAL
O10;8BF;A7C;F96;    O20;389;A93;F9A;    O30;333;A75;F95
O40;23A;A4F;F8E;    O50;0EB;A59;F90;    O60;077;A4C;FAL
O70;0A0;A62;F9E;    O80;0D0;A55;F94;    O90;183;A47;F88
OA0;2CF;A46;F9E;    OB0;42B;A47;FA0;    OC0;4E3;A5D;F8F
OD0;4AF;A6F;F8E;    OE0;3D9;A48;F86;    OF0;25F;A55;F89
100;0FB;A4F;F86;    110;0B3;A5D;F8C;    120;08A;A56;F92
160;49C;A6E;F94;    170;503;A6A;F87;    180;486;A79;F94

```

Obr. 3.16 Přijátá data přijímačem zobrazená na terminálu PC

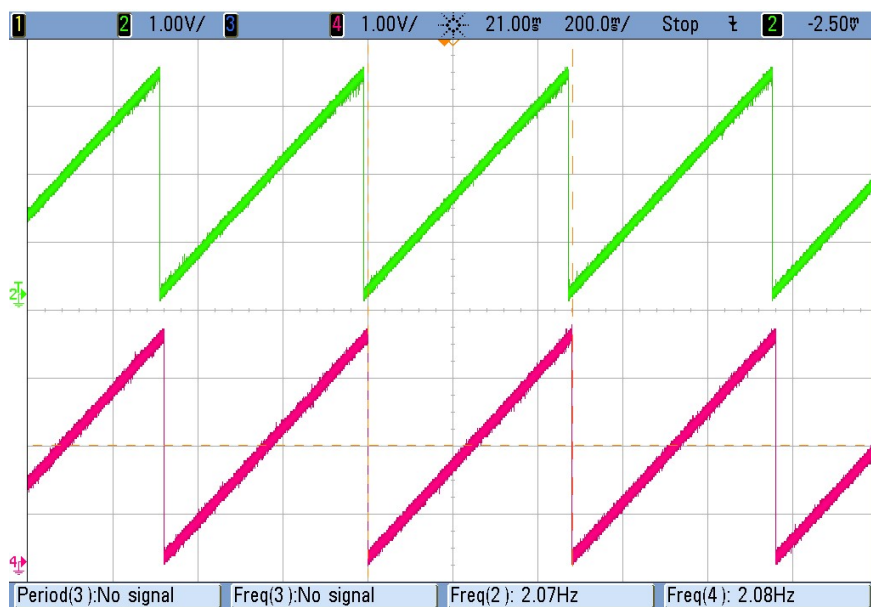
První ověření funkce přenosového systému bylo pomocí výpisu hodnot do terminálu osobního počítače. Výpis hodnot je zobrazen na *Obr. 3.15* a *Obr. 3.16*. Zřejmě se hodnoty vyslané shodují s hodnotami přijatými. První hodnota řetězce v tomto případě reprezentuje pilový signál generovaný mikropočítačem na vysílací straně. Další tři hodnoty reprezentují tři analogové vstupy, na které jsou v tomto případě přivedena různá stejnosměrná napětí. Oddělení tabulátorem znázorňuje další měření (o 1,85 ms později).

Lze si všimnout chyby na přijímací straně, která je značena *ERROR 1*. Tato chyba je vyhodnocena tak, že první čtyři bity prvního kanálu nebyly přečteny jako hodnota A. Obvykle v těchto přijatých zprávách objevovalo několik hodnot 0 a následovaly hodnoty zcela nesouvisející s vysílanými. Lze si ale také všimnout, že i přes tuto chybu se žádná data neztratila a hodnoty na sebe navazují. To je dáno rychlým vymazáním FIFO, čímž se povedlo včas zachytit platná data.

Vzdálenost vysílače a přijímače při tomto měření byla do jednoho metru.

3.4.2 Ověření funkce pilovým signálem

Další ověření proběhlo kontrolou signálu na obrazovce osciloskopu viz *Obr. 3.17*. Kanál 2 osciloskopu byl připojen na výstup D/A převodníku vysílače, ve schématu označovaný jako *ANALOG_OUT_CH1*. Zde je vyveden softwarově generovaný pilový signál. Kanál 4 osciloskopu byl připojen na výstup D/A převodníku na přijímači, označovaný jako *ANALOG_OUT_CH1*.



Obr. 3.17 Snímek obrazovky osciloskopu při ověřování pilovým signálem

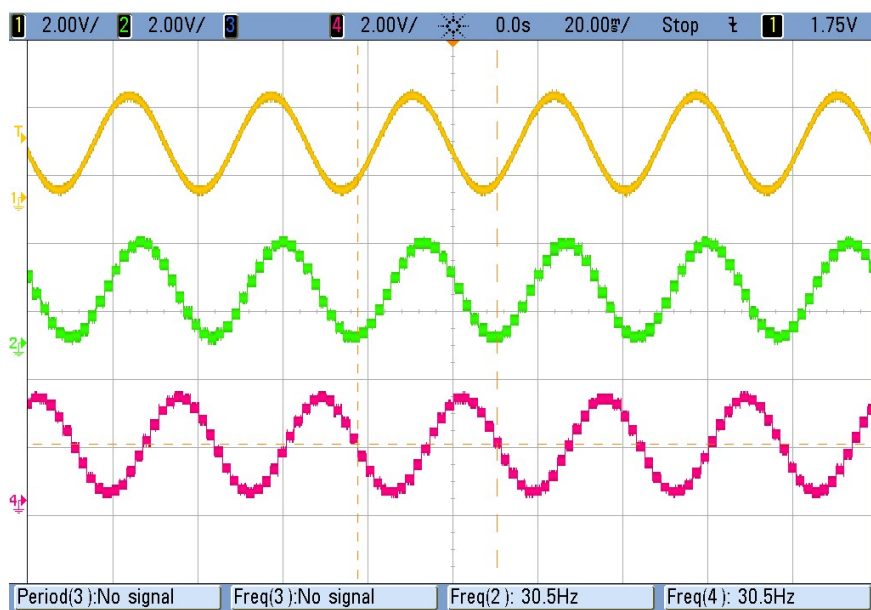
Jak je vidět, signál byl přenesen a zrekonstruován velmi věrohodně a nezkresleně, jen s malým fázovým posuvem. Tento fázový posuv byl měřen později.

Vzdálenost vysílače a přijímače při tomto měření byla do jednoho metru.

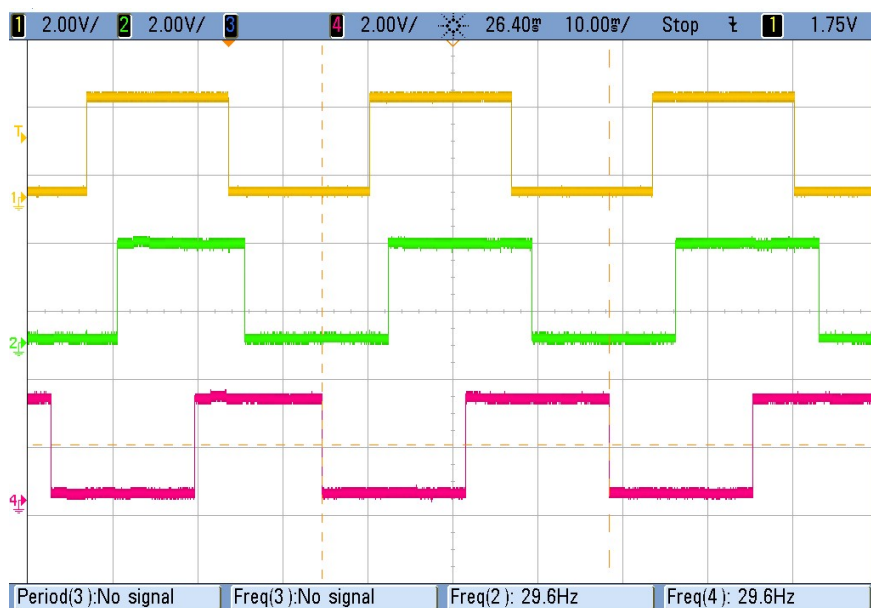
3.4.3 Ověření funkce přivedením externího signálu z funkčního generátoru

Další měření proběhlo připojením funkčního generátoru na analogový vstup vysílače ANALOG_IN_CH2. Před tímto připojením bylo nutné pečlivě nastavit napětí špička-špička a offset přiváděného signálu. Pro ochranu byl ještě mezi výstup z generátoru a vstup A/D převodníku zařazen do série rezistor o hodnotě 1 k Ω . Frekvence signálu byla 30 Hz. Na kanál 1 osciloskopu byl přiveden signál z generátoru. Na kanál 2 osciloskopu byl přiveden signál z D/A převodníku na vysílací straně, ve schématu označovaný jako ANALOG_OUT_CH1. Tentokrát byla tímto vývodem rekonstruován již zdigitalizovaný signál. Na kanál 4 osciloskopu byl přiveden signál ANALOG_OUT_CH2 z přijímače.

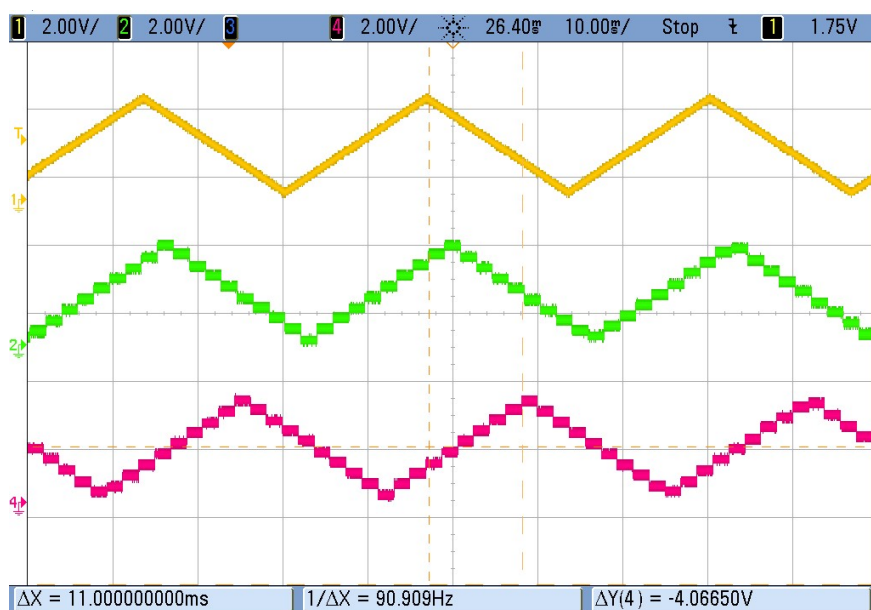
Z Obr. 3.20 lze vyčíst zpoždění signálu mezi přiváděným signálem z generátoru a vyvedeným signálem z přijímače. Zpoždění 11 ms je způsobeno především akumulováním tří měření, než se hodnoty vysílačem odešlou a následným postupným převáděním na straně přijímače.



Obr. 3.18 Snímek obrazovky osciloskopu při ověřování sinusovým signálem



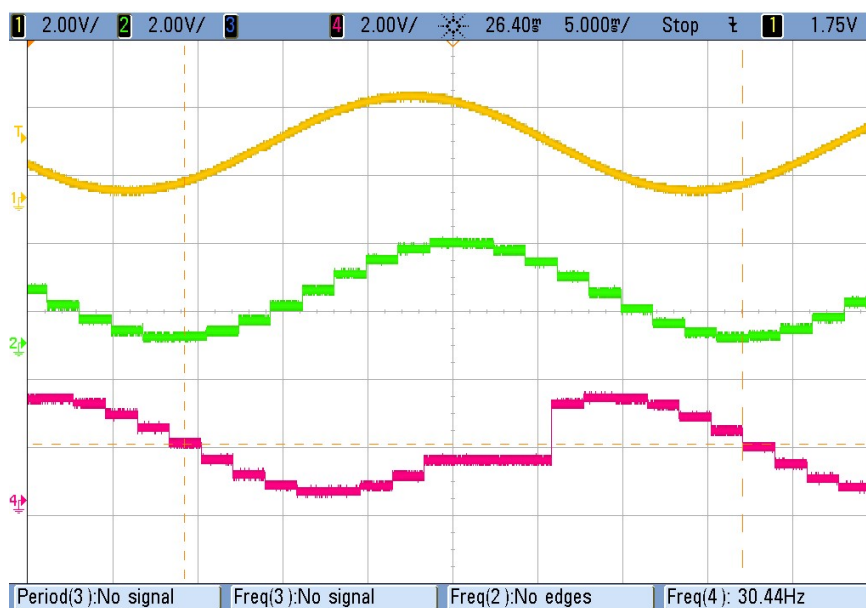
Obr. 3.19 Snímek obrazovky osciloskopu při ověřování obdélníkovým signálem



Obr. 3.20 Snímek obrazovky osciloskopu při ověřování trojúhelníkovým signálem

Na Obr. 3.21 je příklad nesprávně přeneseného a zrekonstruovaného signálu. Chyba je zřejmě způsobena nezaznamenáním hodnot, vyhodnocením nesprávnosti hodnot kontrolním součtem nebo hodnoty A v prvních čtyřech bitech zprávy nebo rušením jiným signálem. Tato chyba se objevuje velmi nepravidelně a velmi zřídka. Ze snímku je vidět opět chyba ve třech hodnotách způsobená chybou celého řádku, tzn. tří měření v čase.

Vzdálenost vysílače a přijímače při tomto měření byla do jednoho metru.



Obr. 3.21 Snímek obrazovky osciloskopu při ověřování sinusovým signálem – chyba

3.4.4 Ověření maximálního dosahu spojení

Tato zkouška proběhla orientačně metodou kontroly hodnot na terminálu PC. Ve venkovním volném prostředí bylo zjištěno bezchybné fungování na vzdálenost 120 metrů viz Obr. 3.22. Na tuto vzdálenost přenos probíhal stejně jako na vzdálenost do 1 metru. Na vzdálenost větší docházelo už k častým chybám viz Obr. 3.23 a na vzdálenost větší než 150 metrů se žádné hodnoty nepřenášely bezchybně viz Obr. 3.24.

```

COM3 - PuTTY
C70;54C;900;F87;      C80;561;8FE;F82;      C90;55A;900;F82
ERROR 1
CA0;56D;909;F80;      CB0;553;8FC;F7E;      CC0;563;8FA;F7C
CD0;566;900;F81;      CE0;583;902;F8A;      CF0;578;901;F81
D00;5A9;902;F7D;      D10;591;903;F86;      D20;5A2;900;F81
D30;589;907;F85;      D40;588;8FE;F88;      D50;586;8FA;F85
D90;5BF;901;F83;      DA0;5AB;904;F7C;      DB0;5BB;902;F7B
DC0;5C3;903;F87;      DD0;5B3;8FE;F82;      DE0;5B6;906;F7D
DF0;5D0;904;F80;      E00;5D3;901;F83;      E10;5C7;903;F7D
E20;5E7;907;F89;      E30;5E1;901;F88;      E40;5C6;908;F7E
E50;5E7;904;F7D;      E60;5D3;901;F89;      E70;5EA;901;F81
E80;5D7;905;F85;      E90;5E3;8FA;F83;      EA0;5EA;905;F81
EE0;5F7;900;F83;      EF0;609;908;F8C;      F00;603;8FE;F86
F10;607;900;F80;      F20;5EB;906;F82;      F30;5FB;902;F7C
F40;612;907;F87;      F50;60B;8FE;F82;      F60;60E;909;F83
F70;615;900;F7D;      F80;609;8F9;F7D;      F90;61A;903;F82
FA0;60A;8F9;F83;      FB0;613;900;F8C;      FC0;613;8FF;F82
FD0;637;907;F85;      FE0;613;8FB;F7A;      FF0;628;8F7;F88
ERROR 1
ERROR 1
ERROR 1
000;63B;907;F87;      010;500;904;F87;      020;135;907;F8C
060;1F3;901;F84;      070;1EF;905;F89;      080;216;902;F7C
090;207;8FB;F7D;      0A0;22D;900;F84;      0B0;218;8
    
```

Obr. 3.22 Zkouška dosahu bezdrátového systému – vzdálenost do 120 metrů

```
COM3 - PuTTY
ERROR 2
ERROR 2
FC0;630;900;F86;      FD0;61B;8FF;F7D;      FE0;646;902;F85
ERROR 2
050;1CC;901;F83;      060;1DB;900;F82;      070;1F6;8FD;F7E
ERROR 1
ERROR 2
ERROR 2
110;24B;907;F90;      120;249;900;F7F;      130;247;8FF;F82
140;240;907;F80;      150;248;8FB;F83;      160;260;907;F94
ERROR 2
ERROR 2
200;299;90F;F80;      210;2CF;8FF;F82;      220;265;8F8;F7E
ERROR 2
260;282;8FA;F7D;      270;2AB;902;F7D;      280;29C;940;F80
ERROR 2
ERROR 2
ERROR 2
350;2C0;900;F7D;      360;2BB;902;F82;      370;2B3;8FE;F89
380;2D9;904;F89;      390;2E7;902;F88;      3A0;2D2;904;F85
ERROR 2
3E0;2DB;8FB;F87;      3F0;2E1;8FE;F8C;      400;2FA;900;F84
ERROR 2
█
```

Obr. 3.23 Zkouška dosahu bezdrátového systému – vzdálenost od 120 do 150 metrů

```
COM3 - PuTTY
ERROR 2
ERROR 1
ERROR 2
ERROR 1
ERROR 2
ERROR 1
ERROR 2
ERROR 1
ERROR 1
ERROR 2
ERROR 1
ERROR 1
ERROR 2
ERROR 1
ERROR 1
ERROR 1
ERROR 2
ERROR 1
ERROR 2
ERROR 1
ERROR 1
ERROR 2
ERROR 1
ERROR 1
ERROR 2
█
```

Obr. 3.24 Zkouška dosahu bezdrátového systému – vzdálenost nad 150 metrů

Uvnitř budovy s velkým množstvím zdí, nábytku a elektrospotřebičů proběhla zkouška následovně: obdobně jako na Obr. 3.22 probíhal přenos na vzdálenost do 20 metrů na stejném podlaží. Nad vzdálenost 20 metrů rozdílném podlaží už byl přenos chybový podobně jako na Obr. 3.24.

Závěr

V první části práce byly porovnány a popsány různé metody bezdrátového propojení periferního zařízení a osobního počítače. Byly zde stručně představeny vlastnosti a funkce technologií *Bluetooth*, *Wifi*, *Certified Wireless USB* a *DASH7*.

V druhé kapitole byl proveden rozbor bezdrátových modulů *RFM01*, *RFM02*, *XY-MK-5V* a *XY-FST*. Moduly *RFM01* a *RFM02* byly použity pro realizaci a následné ověření bezdrátového přenosu dat, popsané v kapitole třetí.

Ve třetí části byly uvedeny priority pro návrh bezdrátového systému pro přenos dat mezi dvěma mikrokontrolery, byly rozebrány jednotlivé komponenty systému a v neposlední řadě byl popsán celý algoritmus a program, podle kterého mikrokontrolery vykonávali své činnosti jak na vysílací straně, tak na přijímací.

Bylo ověřeno různými měřeními, že navržený a realizovaný systém je funkční. Systémem lze přenášet čtyři kanály se vzorkovací frekvencí 540 Hz. Aby byl dodržen Shannonův–Nyquistův–Kotělnikovův teorém musí spektrum signálu přenášené systémem obsahovat jen složky kmitočtů do 270 Hz, aby nedošlo k aliasingu. Systém lze tedy použít pro měření a bezdrátový přenos EKG. Skutečný datový tok (očištěný o synchronní bajty apod.) byl 34,56 kb/s. Toto číslo by se mohlo daleko více přiblížit nastaveným 57,6 kb/s zrychlením komunikace SPI, či kontinuálním vysíláním bez ukončování vysílání.

Vzdálenost, na kterou byla zjištěna spolehlivá komunikace, byla do 120 metrů ve volném otevřeném prostředí. Tento údaj se od výrobcem udávaného dosahu liší. Výrobce udává dosah až 300 metrů, ovšem při rychlosti komunikace 1,2 kb/s. Kvůli rozdílnému datovému toku se nejspíš tyto hodnoty liší. Uvnitř budovy byl zjištěn maximální dosah bezchybné komunikace na 20 metrů na stejném patře. Dosah by byl možný prodloužit volbou lepší antény.

Celé zařízení bylo stavěno jako prototyp, kdy jednotlivé komponenty byly spojeny rozebíratelnými spojeními vodičů. Miniaturizace pro praktické použití by byla možná volbou SMD modulů místo vývodových, použitím plošného spoje s patičí pro vývojovou desku s mikrokontrolerem, případně návrhem kompletní desky pro připojení samotného mikrokontroleru s SMD pouzdrem. Dále by bylo nutné v praxi vyřešit napájení z baterie.

Seznam použité literatury

- [1] Bluetooth. *Wikipedie* [online]. [vid. 2020-04-15]. Dostupné z: <https://cs.wikipedia.org/wiki/Bluetooth>
- [2] How does Bluetooth work? *Scientific American* [online]. 2007 [vid. 2020-04-15]. Dostupné z: <https://www.scientificamerican.com/article/experts-how-does-bluetooth-work/>
- [3] Všeobecné oprávnění č. VO-R/10/12.2019-9 k využívání rádiových kmitočtů a k provozování zařízení krátkého dosahu. *Český telekomunikační úřad* [online]. 2019 [vid. 2020-04-15]. Dostupné z: <https://www.ctu.cz/sites/default/files/obsah/ctu/vseobecne-opravneni-c.vo-r/10/12.2019-9/obrazky/vo-r10-122019-9.pdf>
- [4] Bluetooth Connection GFSK. *UK Essays* [online]. 2017 [vid. 2020-04-18]. Dostupné z: <https://www.ukessays.com/essays/communications/bluetooth-connection-gfsk.php>
- [5] MIKÉSKA, Zdeněk. Specifikace rádiové části systému Bluetooth. *Ústav radioelektroniky, Fakulta elektrotechniky a komunikačních technologií, Vysoké učení Technické v Brně* [online]. 2004 [vid. 2020-04-15]. Dostupné z: <http://www.elektrorevue.cz/clanky/04003/index.html#Obsah>
- [6] BHAGWAT, P. a A. SEGALL. A routing vector method (RVM) for routing in Bluetooth scatternets. In: *1999 IEEE International Workshop on Mobile Multimedia Communications (MoMuC'99) (Cat. No.99EX384)* [online]. B.m.: IEEE, 2003, s. 375–379. ISBN 0-7803-5904-6. Dostupné z: doi:10.1109/MOMUC.1999.819514
- [7] Radio Versions. *Bluetooth®* [online]. [vid. 2020-04-15]. Dostupné z: <https://www.bluetooth.com/learn-about-bluetooth/bluetooth-technology/radio-versions/>
- [8] Bluetooth (INFORMACE): verze, dosah, frekvence a protokoly. *Alza.cz* [online]. 2019 [vid. 2020-04-18]. Dostupné z: <https://www.alza.cz/slovník/bluetooth-art12370.htm#verze>
- [9] *Wi-Fi Alliance* [online]. [vid. 2020-04-23]. Dostupné z: <https://www.wi-fi.org/>
- [10] *What Does WiFi Stands for and How It Works* [online]. [vid. 2020-04-22]. Dostupné z: <https://www.netspotapp.com/what-is-wifi.html>

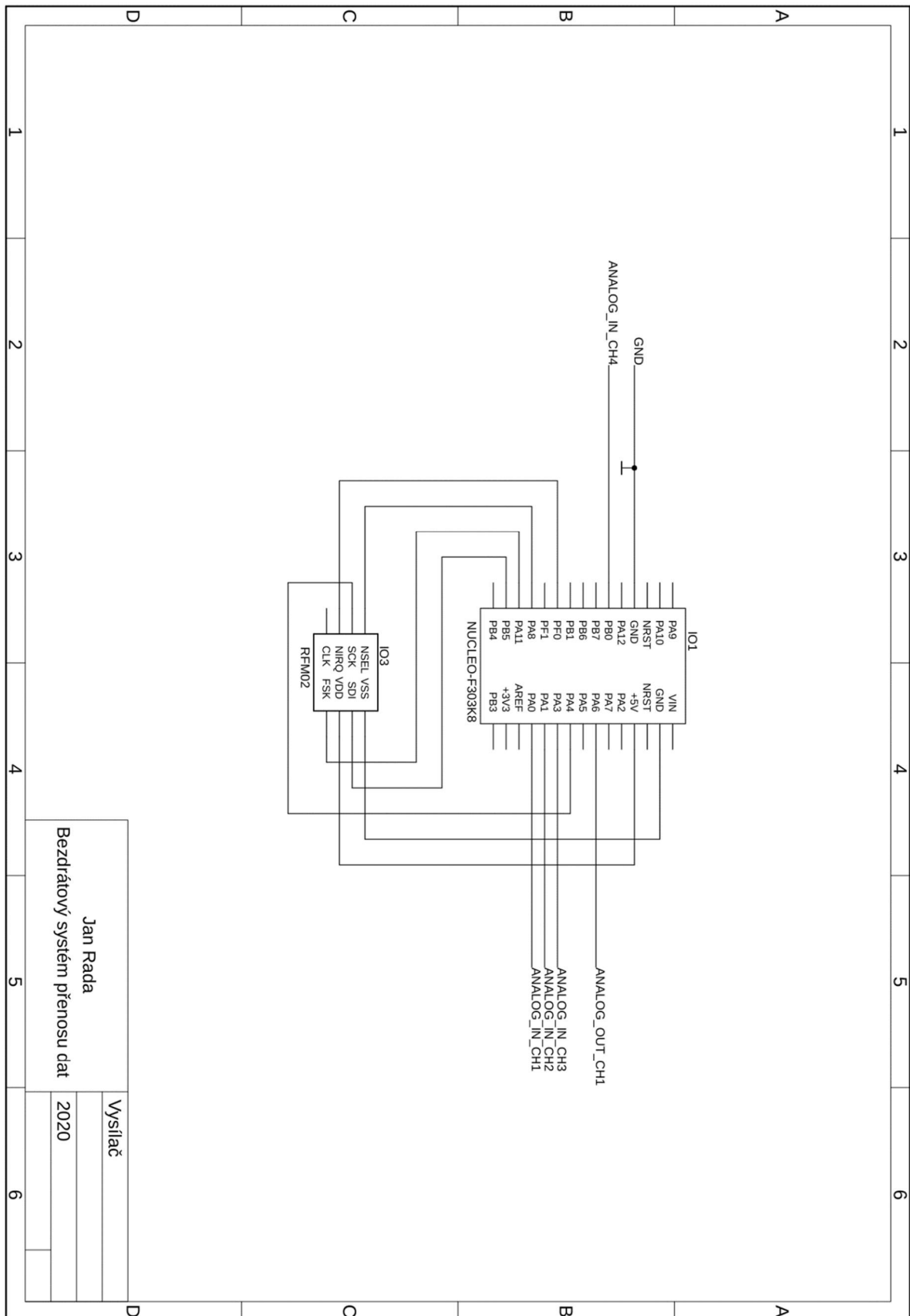
- [11] TJENSVOLD, Jan Magne. *Comparison of the IEEE 802.11, 802.15.1, 802.15.4 and 802.15.6 wireless standards* [online]. 2007 [vid. 2020-04-15]. Dostupné z: http://lars.mec.ua.pt/public/LARProjects/SystemDevelopment/2016_RaquelAlves/wireless/comparison-ieee-802-standards.pdf
- [12] HOFFMAN, Chris. What's the Difference Between Ad-Hoc and Infrastructure Mode Wi-Fi? *How-To Geek* [online]. 2016 [vid. 2020-04-24]. Dostupné z: <https://www.howtogeek.com/180649/htg-explains-whats-the-difference-between-ad-hoc-and-infrastructure-mode/>
- [13] IEEE 802.11. *Wikipedie* [online]. 2020 [vid. 2020-04-24]. Dostupné z: https://cs.wikipedia.org/wiki/IEEE_802.11#cite_note-80211ad-1
- [14] MITCHELL, Bradley. Wireless Standards Explained: 802.11ax, 802.11ac, 802.11b/g/n. *Lifewire* [online]. 2020 [vid. 2020-04-24]. Dostupné z: <https://www.lifewire.com/wireless-standards-802-11a-802-11b-g-n-and-802-11ac-816553>
- [15] IEEE 802.11n - Zrychlete a rozšířte svou bezdrátovou síť. *Intelek* [online]. 2009 [vid. 2020-04-27]. Dostupné z: https://www.intelek.cz/art_doc-5C56A0147621A13AC12575510053AE3E.html
- [16] KELLY, Gordon. 802.11ac vs 802.11n WiFi: What's The Difference? *Forbes* [online]. 2014 [vid. 2020-04-27]. Dostupné z: <https://www.forbes.com/sites/gordonkelly/2014/12/30/802-11ac-vs-802-11n-wifi-whats-the-difference/#721e3b683957>
- [17] WiFi 6. *TP-Link* [online]. [vid. 2020-05-05]. Dostupné z: <https://www.tp-link.com/cz/wifi6/>
- [18] DIGNAN, Larry. D-Link, Asus tout 802.11ax Wi-Fi routers, but you'll have to wait until later in 2018. *ZDNet* [online]. 2018 [vid. 2020-05-05]. Dostupné z: <https://www.zdnet.com/article/d-link-asus-tout-802-11ax-wi-fi-routers-but-youll-have-to-wait-until-later-in-2018/>
- [19] Wireless USB FAQ. *Everything USB* [online]. [vid. 2020-05-05]. Dostupné z: <https://www.everythingusb.com/wireless-usb.html>
- [20] Wireless USB. *Wikipedie* [online]. 2019 [vid. 2020-05-05]. Dostupné z: https://cs.wikipedia.org/wiki/Wireless_USB

- [21] TORRES, Gabriel. Introduction to Wireless USB (WUSB). *Hardware Secrets* [online]. 2008 [vid. 2020-05-05]. Dostupné z: <https://www.hardwaresecrets.com/introduction-to-wireless-usb-wusb/>
- [22] *DASH7 Alliance – An open specification* [online]. [vid. 2020-05-05]. Dostupné z: <https://dash7-alliance.org/>
- [23] QUINNELL, Richard. Low power wide-area networking alternatives for the IoT. *EDN* [online]. 2015 [vid. 2020-05-06]. Dostupné z: <https://www.edn.com/low-power-wide-area-networking-alternatives-for-the-iot/>
- [24] HOPE MICROELECTRONICS CO., LTD. *RFM02 Universal ISM Band FSK Transmitter* [online]. 2006 [vid. 2020-05-09]. Dostupné z: <https://www.tme.eu/Document/648e17cf6585c8a49f7dbc75bc074706/RFM02-433-D.pdf>
- [25] RFM02-433D HOPE MICROELECTRONICS. *TME Czech Republic s.r.o.* [online]. [vid. 2020-05-10]. Dostupné z: <https://www.tme.eu/cz/details/rfm02-433-d/moduly-rf/hope-microelectronics/rfm02-433d/>
- [26] HOPE MICROELECTRONICS CO., LTD. *RFM01 Universal ISM Band FSK Receiver* [online]. 2006 [vid. 2020-05-09]. Dostupné z: <https://www.tme.eu/Document/12638ea34a59443d6d7a7e6951bede32/RFM01-433-D.pdf>
- [27] RFM01-433D HOPE MICROELECTRONICS. *TME Czech Republic s.r.o.* [online]. [vid. 2020-05-10]. Dostupné z: <https://www.tme.eu/cz/details/rfm01-433-d/moduly-rf/hope-microelectronics/rfm01-433d/>
- [28] 433 MHz vysílač + přijímač. *Arduino-shop.cz* [online]. [vid. 2020-05-10]. Dostupné z: <https://arduino-shop.cz/docs/produkty/0/32/1427821401.pdf>
- [29] ECLIPSE S. R. O. *433 MHz vysílač + přijímač* [online]. 2016 [vid. 2020-05-10]. Dostupné z: <https://arduino-shop.cz/arduino/1003-433-mhz-vysilac-prijimac.html>
- [30] XY-MK-5V / XY-FST 433 MHz / 315 MHz RF vysílač a přijímač. *ChinaExpress.cz* [online]. [vid. 2020-05-12]. Dostupné z: <http://www.chinaexpress.cz/cs/item/xy-mk-5v-xy-fst-433mhz-315mhz-rf-transmitter-and-receiver-link-for-arduino-arm-mcu-raspberry-pi/32732438014.html>

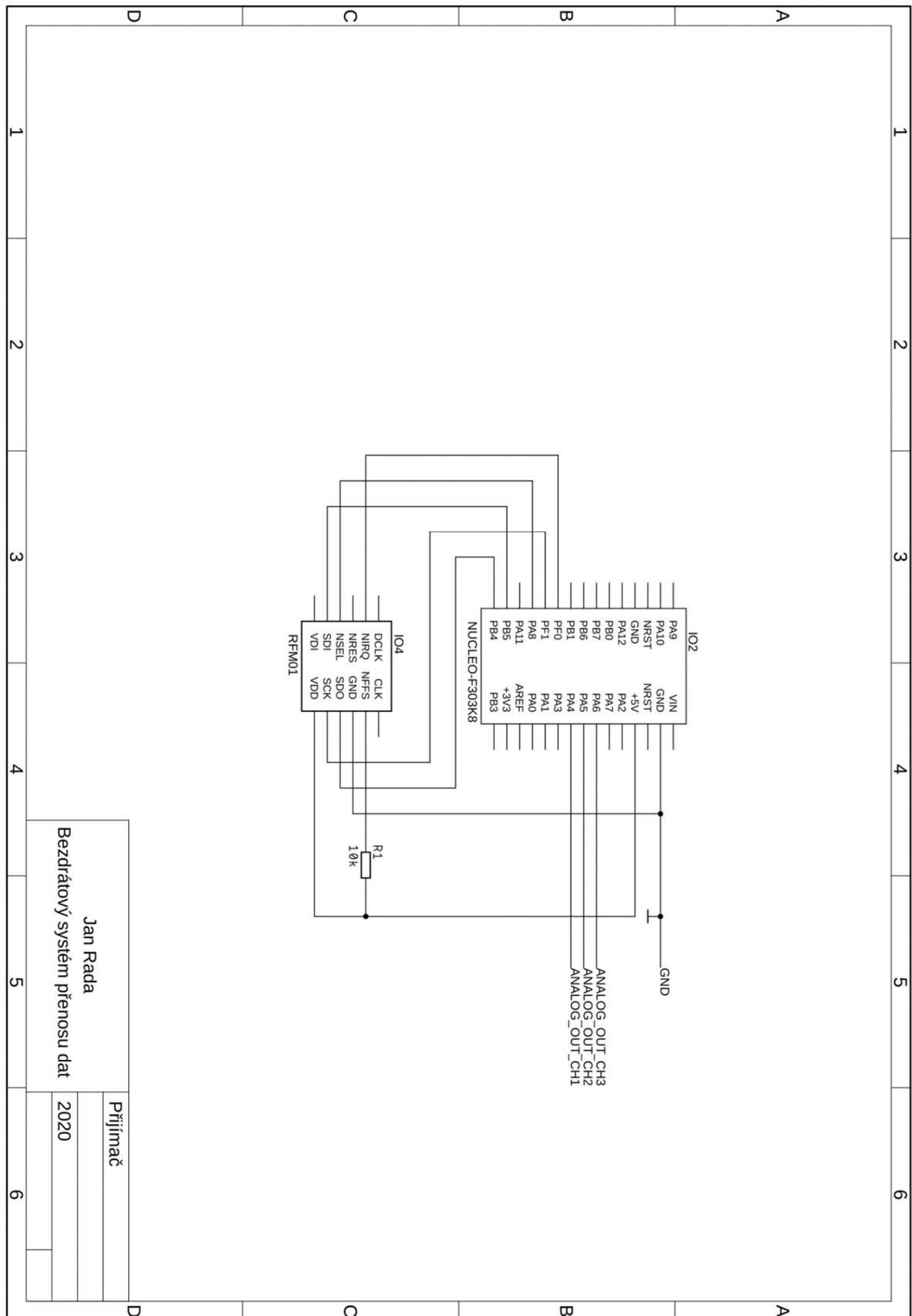
- [31] KWON, Ohhwan, Jinwoo JEONG, Hyung Bin KIM, In Ho KWON, Song Yi PARK, Ji Eun KIM a Yuri CHOI. Electrocardiogram sampling frequency range acceptable for heart rate variability analysis. *Healthcare Informatics Research* [online]. 2018, **24**(3), 198–206 [vid. 2020-06-09]. ISSN 2093369X. Dostupné z: doi:10.4258/hir.2018.24.3.198
- [32] NUCLEO-F303K8. *MBED* [online]. [vid. 2020-06-09]. Dostupné z: <https://os.mbed.com/platforms/ST-Nucleo-F303K8/>
- [33] HC-05. *TME Czech Republic s.r.o.* [online]. [vid. 2020-06-09]. Dostupné z: <https://www.tme.eu/cz/details/hc-05/moduly-iot-wifi-bluetooth/>
- [34] SW433-TH22. *NiceRF Wireless Technology Co., Ltd.* [online]. [vid. 2020-06-11]. Dostupné z: <https://www.gme.cz/data/attachments/dsh.756-166.1.pdf>
- [35] Anténa SW433-TH22, 433MHz 22mm, pozlacená. *GM electronic, spol. s.r.o.* [online]. [vid. 2020-06-11]. Dostupné z: <https://www.gme.cz/antena-sw433-th22-433mhz-22mm-pozlacena>

Přílohy

A. Příloha – Schéma zapojení vysílací části



B. Příloha – Schéma zapojení přijímací části



Jan Rada	
Bezdrátový systém přenosu dat	
Přijímač	2020

C. Příloha – Programový kód pro vysílací část

```

1 /*****
2 * Zapadoceska univerzita v Plzni
3 * Fakulta elektrotechnicka
4 * Katedra aplikovane elektroniky a telekomunikaci
5 *
6 * Bakalarska prace
7 *
8 * Bezdratovy system prenosu dat
9 *
10 * Jan Rada
11 *
12 * 2020
13 *
14 * Vysilac RFM02-433D
15 *****/
16
17 #include "nucleo_core.h"
18 #include <stdio.h>
19 // #include <syscalls.c> // upravene nektere funkce pro vypis v terminalu pomoci usart2
20
21 #define SDI    GPIOB,5    // MOSI
22 #define SDO    GPIOB,4    // MISO
23 #define SCK    GPIOA,4    // CLK
24 #define nSEL   GPIOA,8    // nSEL (active low)
25 #define FSK    GPIOA,11   // FSK
26
27 volatile uint32_t _ticks = 0;           // pocitadlo stovek mikrosekund
28 volatile bool nIRQsignal = false;      // priznak ze se muze vysilat
29 volatile bool vysilej = false;         // priznak pro zahajeni vysilani
30 uint8_t seq = false;                   // cislo sloupce dat
31 uint8_t pila;                           // generovani piloveho signalu
32 uint16_t x[12];                          // namerene hodnoty
33 uint16_t message[12];                    // vysilane hodnoty
34
35 void SysTick_Handler(void);             // obsluha preruseni od SysTicku
36 void EXTI0_IRQHandler(void);            // externi preruseni
37 bool PLLInit(void);                     // nastaveni taktu procesoru na 64 MHz
38 void EXTI0Init(void);                   // nastaveni externiho preruseni EXTI0
39 void SPI1Init(void);                     // nastaveni manualniho rezimu SPI1
40 void WriteSPI(uint16_t val);             // drevni zpusob komunikace po SPI1, ale
    postacujici
41 void RFM02Init(void);                   // nastaveni vysilace RFM02
42 uint8_t RFMSendBit(uint8_t val);        // posle jeden bit do vysilace BLOKUJICI FUNKCE !!!
43 void RFMSendByte(uint8_t aByte);        // BLOKUJICI FUNKCE !!!
44 void RFMSendMessage(uint16_t *message); // posle zpravu 16 Bytu
45 void ADC1Init(void);                     // nastaveni 4 kanalu AD prevodniku 1
46 void DAC1Init(void);                     // nastaveni 1 kanalu DA prevodniku 1
47 void DAC2Init(void);                     // nastaveni 1 kanalu DA prevodniku 2
48 void TIM3Init(void);                     // nastaveni casovace TIM3
49 void TIM3_IRQHandler(void);              // obsluha preruseni od TIM3
50 int Usart2Send(char c);                  // vyslani znaku po USART2
51 void Usart2String(char *txt);            // vyslani retezce po USART2
52 int Usart2Recv(void);                    // prijem po USART2
53 bool IsUsart2Recv(void);                 // priznak, ze je neco v bufferu
54 void Usart2Init(int baudSpeed);          // nastaveni komunikace po USART2
55
56
57 void TIM3_IRQHandler(void)               // obsluha preruseni od TIM3
58 {
59     TIM3->SR &= ~TIM_SR_UIF;             // shozeni proznaku preruseni
60
61     static uint16_t pom[8];

```

```
62
63 ADC1->CR |= ADC_CR_JADSTART;           // spusteni injected prevodu
64
65 while(!(ADC1->ISR & ADC_ISR_JEOS))      // pokej na konec prevodu
66     ;
67
68 if(seq == 0)
69 {
70     // pom[0] = ADC1->JDR1;              // na teto pozici je pila
71     pom[0] = pila << 4;
72     pom[1] = ADC1->JDR2;
73     pom[2] = ADC1->JDR3;
74     pom[3] = ADC1->JDR4;
75
76     DAC2->DHR12R1 = pom[0];             // DAC2/1 prevod
77     seq++;
78 }
79
80 else if(seq == 1)
81 {
82     // pom[4] = ADC1->JDR1;              // na teto pozici je pila
83     pom[4] = pila << 4;
84     pom[5] = ADC1->JDR2;
85     pom[6] = ADC1->JDR3;
86     pom[7] = ADC1->JDR4;
87
88     DAC2->DHR12R1 = pom[4];             // DAC2/1 prevod
89     seq++;
90 }
91
92 else // if(seq == 2)
93 {
94     // x[8] = ADC1->JDR1;                // na teto pozici je pila
95     x[8] = pila << 4;
96     x[9] = ADC1->JDR2;
97     x[10] = ADC1->JDR3;
98     x[11] = ADC1->JDR4;
99
100    DAC2->DHR12R1 = x[8];                // DAC2/1 prevod
101
102    int i;
103    for(i = 0; i < 8; i++)
104    {
105        x[i] = pom[i];
106    }
107    seq = 0;
108    vysilej = true; // vsechny potrebne hodnoty jsou zmereny, muzes vysilat
109 }
110
111 pila++;
112 }
113
114 int main(void)
115 {
116     PLLInit();
117     uint32_t tm = 0;
118     bool ledOn = false;
119
120
121     SystemCoreClockUpdate(); // aktualizuje globalni promennou SystemCoreClock
122
123     SysTick_Config(SystemCoreClock / 64000); // nastav 100 us (64M / 8 / 8000)
```

```
124
125 Nucleo_SetPinGPIO(LED_BOARD, ioPortOutputPP);
126
127 EXTI0Init();
128 Usart2Init(460800);
129 SPI1Init();
130 RFM02Init();
131 ADC1Init();
132 DAC2Init();
133 TIM3Init();
134
135 printf("\r\n\r\nStart APP\r\n");
136
137 while (1)
138 {
139     if(_ticks >= tm)
140     {
141         tm = _ticks + (ledOn ? 500 : 9500); // 50 ms sviti a 950 ms nesviti = perioda 1 s
142
143         GPIOWrite(LED_BOARD, ledOn);
144         ledOn = !ledOn;
145     }
146
147     if(vysilej)
148     {
149         vysilej = false;
150
151         int i;
152         for(i = 0; i < 12; i++)
153         {
154             message[i] = x[i];
155         }
156
157 /*
158     printf("%03X;%03X;%03X;%03X;\t%03X;%03X;%03X;%03X;\t%03X;%03X;%03X;%03X\n\r",
159         message[0], message[1], message[2], message[3],
160         message[4], message[5], message[6], message[7],
161         message[8], message[9], message[10],message[11]);
162 */
163
164     message[0] |= 0xA << 12;
165     message[4] |= 0xA << 12;
166     message[8] |= 0xA << 12;
167
168     RFMSendMessage(message); // vyslani po RFM02
169     }
170
171 }
172 return 0;
173 }
174
175 void SysTick_Handler(void) // obsluha preruseni od SysTicku
176 {
177     _ticks++; // priznak dopocitani neni nutne nulovat
178 }
179
180 void EXTI0_IRQHandler(void) // externi preruseni
181 {
182     if((EXTI->PR & EXTI_PR_PR0) != 0 )
183     {
184         nIRQsignal = true;
185     }

```

```

186 EXTI->PR |= EXTI_PR_PR0;           // shoení priznaku
187 }
188
189 bool PLLInit(void)
190 {
191     uint32_t t;
192
193     if(!(RCC->CR & RCC_CR_HSION))     // HSI not running ?
194     {
195         RCC->CR |= RCC_CR_HSION;      // enable
196
197         t = 100;
198         while(!(RCC->CR & RCC_CR_HSION) && t) // cekej na ON
199             t--;
200         if(!t)
201             return false;            // chybový priznak
202     }
203
204     if(RCC->CR & RCC_CR_PLLON)        // bezi PLL ?
205     {
206         RCC->CR &= ~RCC_CR_PLLON;    // zakázání PLL
207     }
208
209     RCC->CFGR &= ~RCC_CFGR_SW;        // nastav HSI jako zdroj HCLK
210
211     RCC->CFGR = 0;                    // RESET vseho
212
213     RCC->CFGR |= RCC_CFGR_PPRE1_DIV2; // PRE1 = 100 = /2 pro APB1 (32 MHz)
214     RCC->CFGR |= RCC_CFGR_PLLSRC_HSI_DIV2; // HSI / 2 jako zdroj pro PLL
215     RCC->CFGR |= RCC_CFGR_PLLMUL16;  // PLLMUL = 1111 = nastav nasobení x16
216
217     RCC->CR |= RCC_CR_PLLON;         // spust PLL
218
219     t = 100;
220     while(!(RCC->CR & RCC_CR_PLLRDY) && t) // cekej na ON
221         t--;
222
223     if (!t)
224         return false;                // chybový priznak
225
226     // Nastavení waitState... pokud dám rychlejší frekvenci než zvládá flashka vydávat
227     FLASH->ACR &= ~FLASH_ACR_LATENCY; // vymazání LATENCY
228     FLASH->ACR |= FLASH_ACR_LATENCY_1; // 2 čekací cykly (48 < HCLK < 72 MHz)
229
230     RCC->CFGR |= RCC_CFGR_SW_PLL;    // nastav PLL jako zdroj HCLK
231
232     t = 100;
233     while(!((RCC->CFGR & RCC_CFGR_SWS) == RCC_CFGR_SWS_PLL) && t) // cekej na overení SWS
234         t--;
235
236     if (!t)
237         return false;
238
239     return true;
240 }
241
242 void EXTI0Init(void)
243 {
244     Nucleo_SetPinGPIO(GPIOF, 0, ioPortInputPU); // EXTI0 pin
245
246     if(!(RCC->APB2ENR & RCC_APB2ENR_SYSCFGEN)) // povoluje hodiny pro EXTI
247     {

```



```

248     RCC->APB2ENR |= RCC_APB2ENR_SYSCFGEN;
249     RCC->APB2RSTR |= RCC_APB2RSTR_SYSCFGRST;
250     RCC->APB2RSTR &= ~RCC_APB2RSTR_SYSCFGRST;
251 }
252
253 NVIC_EnableIRQ(EXTI0_IRQn);           // povoleni NVICu pro preruseni EXTI0
254 NVIC_SetPriority(EXTI0_IRQn, 2);      // priorita 2
255
256 SYSCFG->EXTICR[0] &= ~SYSCFG_EXTICR1_EXTI0; // zakazany vsechny preruseni na Line0
257 SYSCFG->EXTICR[0] |= SYSCFG_EXTICR1_EXTI0_PF; // povlen Port F na Line0 (PF0)
258
259 // EXTI->RTSR |= EXTI_RTSR_TR0;      // nabezna hrana povolena
260 EXTI->FTSR |= EXTI_RTSR_TR0;        // dobezna hrana zakazana
261 EXTI->IMR |= EXTI_IMR_MR0;          // prerusni povoleno
262 }
263
264 void SPI1Init(void)                  // manualni rezim SPI1
265 {
266     Nucleo_SetPinGPIO(SDI, ioPortOutputPP); // SPI1_MOSI
267     Nucleo_SetPinGPIO(SCK, ioPortOutputPP); // SPI1_CLK
268     Nucleo_SetPinGPIO(nSEL, ioPortOutputPP); // SPI1_CS
269
270     GPIOWrite(SDI, false);
271     // GPIOWrite(SDO, false);
272     GPIOWrite(SCK, false);
273     GPIOWrite(nSEL, true);
274 }
275
276 void WriteSPI(uint16_t val) // drevni zpusob, ale postacujici
277 {
278     GPIOWrite(nSEL, 0);           // nizka uroven na nSEL (aktivni uroven) (t_MIN = 10 ns)
279
280     int i;
281     for(i = 0; i < 16; i++)
282     {
283         GPIOWrite(SDI, (val & 0x8000) != 0); // maska 1000 0000 0000 0000
284
285         GPIOWrite(SCK, 1);           // pulz na SCK (hodiny)
286         GPIOWrite(SCK, 1);           // 2 takty (t_MIN = 25 ns)
287         GPIOWrite(SCK, 0);
288         GPIOWrite(SCK, 0);
289
290         val <<= 1;
291     }
292
293     GPIOWrite(nSEL, 1);           // vysoka uroven na nSEL (neaktivni uroven) (t_MIN = 10 ns)
294 }
295
296 void RFM02Init(void)
297 {
298     WriteSPI(0xCC00);
299     WriteSPI(0x8B61);           // 433 band, +/- 90 kHz
300     WriteSPI(0xA640);           // 434 MHz
301     WriteSPI(0xC805);           // 57.6 kbps
302     WriteSPI(0xD200);           // 57.6 kbps
303     WriteSPI(0xC220);           // en bit sync
304     WriteSPI(0xC001);           // close all
305
306
307     Nucleo_SetPinGPIO(FSK, ioPortOutputPP);
308     GPIOWrite(FSK, false);
309 }

```

```

310
311 void RFMSendByte(uint8_t aByte)           // BLOKUJICI FUNKCE !!!
312 {
313     int i = 0;
314     for(i = 0; i < 8; i++)
315     {
316         while(!nIRQsignal)                // cekani na nIRQ
317             ;
318
319         nIRQsignal = false;                // shodit priznak nIRQ
320         GPIOWrite(FSK, (aByte & 0x80) != 0); // maska 1000 0000
321         aByte <<= 1;                       // bitovy posun
322     }
323 }
324
325 void RFMSendMessage(uint16_t *message)
326 {
327     uint16_t ChkSum = 0;                   // kontrolni soucet
328
329     WriteSPI(0xC038);                      // start Tx po FSK pinu
330
331     uint32_t j;
332     for(j = 0; j < 1500; j++)
333         ;
334
335     RFMSendByte(0xAA);                     // Preamble
336     RFMSendByte(0xAA);                     // Preamble
337     RFMSendByte(0xAA);                     // Preamble
338
339     RFMSendByte(0x2D);                      // Synchron pattern
340     RFMSendByte(0xD4);                      // Synchron pattern
341
342     int i;
343     for(i = 0; i < 12; i++)
344     {
345         RFMSendByte(message[i] / 256);
346         RFMSendByte(message[i] % 256);
347         ChkSum += message[i];
348     }
349
350     RFMSendByte(ChkSum / 256);
351
352     RFMSendByte(0xAA);                     // konec odesilani
353
354     WriteSPI(0xC001);                      // konec Tx po FSK pinu
355 }
356
357 void ADC1Init(void)
358 {
359     Nucleo_SetPinGPIO(GPIOA, 0, ioPortAnalog); // ADC1/1
360     Nucleo_SetPinGPIO(GPIOA, 1, ioPortAnalog); // ADC1/2
361     Nucleo_SetPinGPIO(GPIOA, 3, ioPortAnalog); // ADC1/4
362     Nucleo_SetPinGPIO(GPIOB, 0, ioPortAnalog); // ADC1/11
363
364     if(!(RCC->AHBENR & RCC_AHBENR_ADC12EN))
365     {
366         RCC->AHBENR |= RCC_AHBENR_ADC12EN;
367         RCC->AHBRSTR |= RCC_AHBRSTR_ADC12RST;
368         RCC->AHBRSTR &= ~RCC_AHBRSTR_ADC12RST;
369     }
370
371     ADC1->CFGR = 0;                         // RES = 00 = 12 bit, ALIGN = 0 = right align

```

```

372
373 ADC1->SMPR1 = 0x4120; // 100 na SMP1, SMP2 a SMP4
374 ADC1->SMPR2 = 4 << 3; // 100 = 19.5 clock cycles on SMP11
375
376 ADC1->JSQR |= ADC_JSQR_JL_1 | ADC_JSQR_JL_0 // JL = 11 = 4 kanaly
377 | ADC_JSQR_JSQ1_0 // JSQ1 = ADC1/1
378 | ADC_JSQR_JSQ2_1 // JSQ2 = ADC1/2
379 | ADC_JSQR_JSQ3_2 // JSQ3 = ADC1/4
380 | ADC_JSQR_JSQ4_3 | ADC_JSQR_JSQ4_1 | ADC_JSQR_JSQ4_0; // JSQ4 = ADC1/11
381
382 ADC1_2_COMMON->CCR |= ADC12_CCR_CKMODE_1; // CLK = HCLK/2 (prescaler), není teplotní
    senzor, není Vbat
383
384 ADC1->CR |= ADC_CR_ADEN; // povol ADC
385 }
386
387 void DAC1Init(void)
388 {
389     Nucleo_SetPinGPIO(GPIOA, 4, ioPortAnalog); // DAC1/1
390
391     if(!(RCC->APB1ENR & RCC_APB1ENR_DAC1EN))
392     {
393         RCC->APB1ENR |= RCC_APB1ENR_DAC1EN;
394         RCC->APB1RSTR |= RCC_APB1RSTR_DAC1RST;
395         RCC->APB1RSTR &= ~RCC_APB1RSTR_DAC1RST;
396     }
397
398     DAC1->CR = 0; // clear all
399     DAC1->CR |= DAC_CR_BOFF1; // = OUTEN1 = DAC ch1 output switch enabled
400     DAC1->CR |= DAC_CR_EN1; // DAC1/1 en.
401 }
402
403 void DAC2Init(void)
404 {
405     Nucleo_SetPinGPIO(GPIOA, 6, ioPortAnalog); // DAC2/1
406
407     if(!(RCC->APB1ENR & RCC_APB1ENR_DAC2EN))
408     {
409         RCC->APB1ENR |= RCC_APB1ENR_DAC2EN;
410         RCC->APB1RSTR |= RCC_APB1RSTR_DAC2RST;
411         RCC->APB1RSTR &= ~RCC_APB1RSTR_DAC2RST;
412     }
413
414     DAC2->CR = 0; // clear all
415     DAC2->CR |= DAC_CR_BOFF1; // = OUTEN1 = DAC ch1 output switch enabled
416     DAC2->CR |= DAC_CR_EN1; // DAC2/1 en.
417 }
418
419 void TIM3Init(void)
420 {
421     if(!(RCC->APB1ENR & RCC_APB1ENR_TIM3EN)) // TIM3 nutno povolit hodiny ?
422     {
423         RCC->APB1ENR |= RCC_APB1ENR_TIM3EN;
424         RCC->APB1RSTR |= RCC_APB1RSTR_TIM3RST;
425         RCC->APB1RSTR &= ~RCC_APB1RSTR_TIM3RST;
426     }
427
428     TIM3->CR1 = TIM_CR1_DIR; // DIR = 1 - count-down
429     TIM3->CR2 = 0; // nic spec.
430     TIM3->PSC = 64; // 1 us
431     TIM3->ARR = 1850 - 1; // 1.85 ms
432

```

```

433 TIM3->DIER |= TIM_DIER_UIE; // povol vznik preruseni z periferie
434 NVIC_EnableIRQ(TIM3_IRQn); // povol zpracovani v NVICu
435
436 TIM3->CR1 |= TIM_CR1_CEN; // spusteni TIM3
437 }
438
439 int Usart2Send(char c)
440 {
441     while(!(USART2->ISR & USART_ISR_TXE)) // cekej dokud neni volny TDR
442         ;
443     USART2->TDR = c; // zapis do Transmit Data Registru k odeslani
444     return c;
445 }
446
447 void Usart2String(char *txt)
448 {
449     while(*txt)
450     {
451         Usart2Send(*txt);
452         txt++;
453     }
454 }
455
456 int Usart2Recv(void)
457 {
458     while(!(USART2->ISR & USART_ISR_RXNE)) // cekej dokud neco neprijde do RDR
459         ;
460     return USART2->RDR; // vycti a vrat jako hodnotu
461 }
462
463 bool IsUsart2Recv(void) // priznak, ze je neco v bufferu
464 {
465     return (USART2->ISR & USART_ISR_RXNE) != 0; // podminka vynuti true / false
466 }
467
468 void Usart2Init(int baudSpeed)
469 {
470     Nucleo_SetPinGPIO(GPIOA, 2, ioPortAlternatePP);
471     Nucleo_SetPinAFGPIO(GPIOA, 2, 7); // AF7 je USART2
472     Nucleo_SetPinGPIO(GPIOA, 15, ioPortAlternatePP);
473     Nucleo_SetPinAFGPIO(GPIOA, 15, 7); // AF7 je USART2
474
475     if(!(RCC->APB1ENR & RCC_APB1ENR_USART2EN)) // neni povolen USART2
476     {
477         RCC->APB1ENR |= RCC_APB1ENR_USART2EN;
478         RCC->APB1RSTR |= RCC_APB1RSTR_USART2RST;
479         RCC->APB1RSTR &= ~RCC_APB1RSTR_USART2RST;
480     }
481
482     USART2->CR1 = USART_CR1_RE | USART_CR1_TE; // staci povoleni prijmu a vysilani
483     USART2->CR2 = 0; // nic specialniho
484     USART2->CR3 = 0; // nic specialniho
485
486     // TODO doplnit vypocet BRR podle pozadovaneho Baud-rate a podle clocku
487     // POZOR USART2 je pripojen na APB1 sbernici => pro tak procesoru 64MHz je 32MHz
488     USART2->BRR = (4 << 4) // USARTDIV = 4.340277778 pro 64MHz a 460800Bd, 8.680555556 pro
64MHz a 230400Bd, 13.020833333 pro 8MHz a 38400Bd
489     | 5; // USARTDIV = fCLK / (baud x 8 x (2 - OVER8))
490     // mantisa = 4 (posunuta o 4 bity vlevo)
491     // fraction = 5 (zaokrouhлено na 5/16)
492
493

```

```
494 USART2->CR1 |= USART_CR1_UE;    // povolen blok USARTu
495
496 // zrusit bufferovani vystupu i vstupu
497 setvbuf(stdout, NULL, _IONBF, 0);
498 setvbuf(stdin, NULL, _IONBF, 0);
499 }
500
```

D. Příloha – Programový kód pro přijímací část

```

1 /*****
2 * Zapadoceska univerzita v Plzni
3 * Fakulta elektrotechnicka
4 * Katedra aplikovane elektroniky a telekomunikaci
5 *
6 * Bakalarska prace
7 *
8 * Bezdratovy system prenosu dat
9 *
10 * Jan Rada
11 *
12 * 2020
13 *
14 * Prijimac RFM01-433D
15 *****/
16
17 #include "nucleo_core.h"
18 #include <stdio.h>
19 // #include <syscalls.c> // upravene nektere funkce pro vypis v terminalu pomoci usart2
20
21 #define SDI    GPIOB,5 // MISO
22 #define SDO    GPIOB,4 // MOSI
23 #define SCK    GPIOF,1 // CLK
24 #define nSEL   GPIOA,8 // nSEL (active low)
25 #define nIRQ   GPIOF,0 // nIRQ (active low)
26
27 volatile uint32_t _ticks = 0; // pocitadlo stovek mikrosekund
28 volatile bool nIRQsignal = false; // priznak ze se muze vysilat
29 volatile bool rec = false; // priznak ze prisla nova data
30
31 uint16_t message[13];
32 uint8_t seq = 0;
33
34 void SysTick_Handler(void); // obsluha preruseni od SysTicku
35 void EXTI0_IRQHandler(void); // externi preruseni
36 bool PLLInit(void); // nastaveni taktu procesoru na 64 MHz
37 void EXTI0Init(void); // nastaveni externiho preruseni EXTI0
38 void SPI1Init(void); // nastaveni manualniho rezimu SPI1
39 void WriteSPI(uint16_t val); // drevni zpusob komunikace po SPI1, ale postacujici
40 void RFM01Init(void); // nastaveni prijimace RFM01
41 uint8_t RFM01ReadFIFO(void); // prijmi Byte z RFM01
42 void DAC1Init(void); // nastavi DAC1/1
43 void DAC2Init(void); // nastavi DAC2/1
44 void TIM3Init(void); // nastaveni casovace TIM3
45 void TIM3_IRQHandler(void); // obsluha preruseni od TIM3
46 int Usart2Send(char c); // vyslani znaku po USART2
47 void Usart2String(char *txt); // vyslani retezce po USART2
48 int Usart2Recv(void); // prijem po USART2
49 bool IsUsart2Recv(void); // priznak, ze je neco v bufferu
50 void Usart2Init(int baudSpeed); // nastaveni komunikace po USART2
51
52 void TIM3_IRQHandler(void) // obsluha preruseni od TIM3
53 {
54     TIM3->SR &= ~TIM_SR_UIF; // shozeni proznaku preruseni
55
56     if(rec)
57     {
58         seq = 0;
59         rec = false;
60     }
61     static uint16_t pom[12];
62

```

```
63 if(seq == 0)
64 {
65
66     int i;
67     for(i = 0; i < 12; i++)
68         pom[i] = message[i];
69
70     DAC2->DHR12R1 = pom[0];
71     DAC1->DHR12R1 = pom[1];
72     DAC1->DHR12R2 = pom[2];
73 }
74
75 else if(seq == 1)
76 {
77     DAC2->DHR12R1 = pom[4];
78     DAC1->DHR12R1 = pom[5];
79     DAC1->DHR12R2 = pom[6];
80 }
81
82 else if(seq == 2)
83 {
84     DAC2->DHR12R1 = pom[8];
85     DAC1->DHR12R1 = pom[9];
86     DAC1->DHR12R2 = pom[10];
87     TIM3->CR1 &= ~TIM_CR1_CEN;           // zastaveni TIM3
88 }
89
90 seq++;
91 }
92
93 int main(void)
94 {
95     PLLInit();
96
97     uint32_t k;
98     for(k = 0; k < 10000; k++)
99         ;
100
101     uint32_t tm = 0;
102     bool ledOn = false;
103     uint8_t i = 0;
104     uint16_t ChkSum = 0;
105     uint8_t recChkSum = 0;
106     uint16_t x[13];
107
108     SystemCoreClockUpdate(); // aktualizuje globalni promennou SystemCoreClock
109
110     SysTick_Config(SystemCoreClock / 64000); // nastav 100 us (64M / 8 / 8000)
111
112     Nucleo_SetPinGPIO(LED_BOARD, ioPortOutputPP);
113
114     Usart2Init(460800);
115     SPI1Init();
116     RFM01Init();
117     DAC1Init();
118     DAC2Init();
119     TIM3Init();
120
121     printf("\r\n\r\nStart APP\r\n");
122
123     while (1)
124     {
```

```
125
126     if(_ticks >= tm)
127     {
128         tm = _ticks + (ledOn ? 500 : 9500); // 50 ms sviti a 950 ms nesviti = perioda 1 s
129
130         GPIOWrite(LED_BOARD, ledOn);
131         ledOn = !ledOn;
132     }
133
134     while(!(GPIORead(nIRQ)))
135     {
136         if(!(i%2))
137         {
138             x[i/2] = RFM01ReadFIFO() << 8; // horni Byte
139             if((i == 0) || (i == 8) || (i == 16))
140             {
141                 if((x[i/2] & ~0xFFFF) != 0xA000)
142                 {
143                     WriteSPI(0xCE88); // reset FIFO
144                     WriteSPI(0xCE8B);
145
146                     printf("ERROR\t1\n\r");
147                     break;
148                 }
149                 else
150                 {
151                     x[i/2] &= 0xFFFF; // maskovani A
152                 }
153             }
154             i++;
155         }
156         else
157         {
158             x[i/2] |= RFM01ReadFIFO(); // spodni Byte , MASKOVAT!
159             i++;
160         }
161         if (i == 24)
162         {
163             recChkSum = RFM01ReadFIFO();
164             i = 0;
165
166             WriteSPI(0xCE88); // reset FIFO
167             WriteSPI(0xCE8B);
168
169             ChkSum = 0;
170
171             int j;
172             for(j = 0; j < 12; j++) // kopirovani pole
173             {
174                 message[j] = x[j];
175                 ChkSum += x[j];
176             }
177
178             ChkSum += 0xE000; // kompenzace 3x 0xA000
179             ChkSum = ChkSum / 256; // jen horni Byte
180
181             if(recChkSum == ChkSum)
182             {
183                 rec = true;
184                 TIM3_IRQHandler();
185                 TIM3->CR1 |= TIM_CR1_CEN; // spusteni TIM3
186             }
187         }
188     }
189 }
```



```
187         printf("%03X;%03X;%03X;%03X;\t%03X;%03X;%03X;%03X;\t%03X;%03X;%03X;%03X\n\r",
188             message[0], message[1], message[2], message[3],
189             message[4], message[5], message[6], message[7],
190             message[8], message[9], message[10],message[11]);
191     }
192 }
193
194     else
195     {
196         printf("ERROR\t2\n\r");
197     }
198 }
199 }
200 }
201 }
202 }
203 }
204 return 0;
205 }
206
207 void SysTick_Handler(void) // obsluha preruseni od SysTicku
208 {
209     _ticks++; // priznak dopocitani neni nutne nulovat
210 }
211
212 void EXTI0_IRQHandler(void) // externi preruseni
213 {
214     if((EXTI->PR & EXTI_PR_PR0) != 0 )
215     {
216         nIRQsignal = true;
217     }
218     EXTI->PR |= EXTI_PR_PR0; // shozeni priznaku
219 }
220
221 bool PLLInit(void)
222 {
223     uint32_t t;
224
225     if(!(RCC->CR & RCC_CR_HSION)) // HSI not running ?
226     {
227         RCC->CR |= RCC_CR_HSION; // enable
228
229         t = 100;
230         while(!(RCC->CR & RCC_CR_HSION) && t) // cekej na ON
231             t--;
232         if(!t)
233             return false; // chybovy priznak
234     }
235
236     if(RCC->CR & RCC_CR_PLLON) // bezi PLL ?
237     {
238         RCC->CR &= ~RCC_CR_PLLON; // zakazani PLL
239     }
240
241     RCC->CFGR &= ~RCC_CFGR_SW; // nastav HSI jako zdroj HCLK
242
243     RCC->CFGR = 0; // RESET vseho
244
245     RCC->CFGR |= RCC_CFGR_PPRE1_DIV2; // PRE1 = 100 = /2 pro APB1 (32 MHz)
246     RCC->CFGR |= RCC_CFGR_PLLSRC_HSI_DIV2; // HSI / 2 jako zdroj pro PLL
247     RCC->CFGR |= RCC_CFGR_PLLMUL16; // PLLMUL = 1111 = nastav nasobeni x16
248 }
```

```
249 RCC->CR |= RCC_CR_PLLON;           // spust PLL
250
251 t = 100;
252 while(!(RCC->CR & RCC_CR_PLLRDY) && t) // cekej na ON
253     t--;
254
255 if (!t)
256     return false;                   // chybovy priznak
257
258 // Nastavení waitState... pokud dám rychlejší frekvenci než zvládá flashka vydávat
259 FLASH->ACR &= ~FLASH_ACR_LATENCY;   // vymazání LATENCY
260 FLASH->ACR |= FLASH_ACR_LATENCY_1;   // 2 čekací cykly (48 < HCLK < 72 MHz)
261
262 RCC->CFGR |= RCC_CFGR_SW_PLL;        // nastav PLL jako zdroj HCLK
263
264 t = 100;
265 while(!(RCC->CFGR & RCC_CFGR_SWS) == RCC_CFGR_SWS_PLL) && t) // cekej na overení SWS
266     t--;
267
268 if (!t)
269     return false;
270
271 return true;
272 }
273
274 void EXTI0Init(void)
275 {
276     Nucleo_SetPinGPIO(GPIOF, 0, ioPortInputPU); // EXTI0, pozdeji prepnout na Float
277
278     if(!(RCC->APB2ENR & RCC_APB2ENR_SYSCFGEN) // povoluje hodiny pro EXTI
279         {
280             RCC->APB2ENR |= RCC_APB2ENR_SYSCFGEN;
281             RCC->APB2RSTR |= RCC_APB2RSTR_SYSCFGRST;
282             RCC->APB2RSTR &= ~RCC_APB2RSTR_SYSCFGRST;
283         }
284
285     NVIC_EnableIRQ(EXTI0_IRQn);       // povolení NVICu pro prerušení EXTI0
286
287     SYSCFG->EXTICR[0] &= ~SYSCFG_EXTICR1_EXTI0; // zakazany vsechny prerušení na Line0
288     SYSCFG->EXTICR[0] |= SYSCFG_EXTICR1_EXTI0_PF; // povlen Port F na Line0 (PF0)
289
290     // EXTI->RTSR |= EXTI_RTSR_TR0;      // nabezna hrana povolena
291     EXTI->FTSR |= EXTI_RTSR_TR0;        // dobezna hrana zakazana
292     EXTI->IMR |= EXTI_IMR_MR0;         // prerusni povoleno
293 }
294
295 void SPI1Init(void)                  // manualni rezim SPI1
296 {
297     Nucleo_SetPinGPIO(SDI, ioPortOutputPP); // SPI1_MOSI
298     Nucleo_SetPinGPIO(SDO, ioPortInputPU);  // SPI1_MISO
299     Nucleo_SetPinGPIO(SCK, ioPortOutputPP); // SPI1_CLK
300     Nucleo_SetPinGPIO(nSEL, ioPortOutputPP);
301
302     GPIOwrite(SDI, false);
303     GPIOwrite(SCK, false);
304     GPIOwrite(nSEL, true);
305 }
306
307 void WriteSPI(uint16_t val)          // drevni zpusob, ale postacujici
308 {
309     GPIOwrite(nSEL, 0);              // nizka uroven na nSEL (aktivni uroven) (t_MIN = 10 ns)
310
```

```
311 int i;
312 for(i = 0; i < 16; i++)
313 {
314     GPIOWrite(SDI, (val & 0x8000) != 0); // maska 1000 0000 0000 0000
315
316     GPIOWrite(SCK, 1); // pulz na SCK (hodiny)
317     GPIOWrite(SCK, 1); // 2 takty (t_MIN = 25 ns)
318     GPIOWrite(SCK, 0);
319     GPIOWrite(SCK, 0);
320
321     val <<= 1;
322 }
323
324 GPIOWrite(nSEL, 1); // vysoka uroven na nSEL (neaktivni uroven) (t_MIN = 10 ns)
325 GPIOWrite(nSEL, 1); // vysoka uroven na nSEL (neaktivni uroven) (t_MIN = 10 ns)
326 }
327
328 void RFM01Init(void)
329 {
330     WriteSPI(0x0000);
331     WriteSPI(0x898A); // 433 band, 134 kHz
332     WriteSPI(0xA640); // 433 MHz
333     WriteSPI(0xC805); // 57.6 kbps
334     WriteSPI(0xC69B); // AFC setting
335     WriteSPI(0xC42A); // Clock recovery manual control, Digital filter DQD=4
336     WriteSPI(0xC240); // output 1.66 MHz
337     WriteSPI(0xC080);
338     WriteSPI(0xCE88); // use FIFO
339     WriteSPI(0xCE8B);
340     WriteSPI(0xC081); // open Rx
341
342     Nucleo_SetPinGPIO(SDO, ioPortInputPU);
343     Nucleo_SetPinGPIO(nIRQ, ioPortInputPU);
344 }
345
346 uint8_t RFM01ReadFIFO(void)
347 {
348     uint8_t i, Result;
349     GPIOWrite(SCK, false);
350     GPIOWrite(SDI, false);
351     GPIOWrite(nSEL, false);
352
353     for(i = 0; i < 16; i++) // preskoc status bity
354     {
355         GPIOWrite(SCK, true);
356         GPIOWrite(SCK, true);
357         GPIOWrite(SCK, false);
358         GPIOWrite(SCK, false);
359     }
360
361     Result = 0;
362     for(i = 0; i < 8; i++)
363     {
364         Result <<= 1;
365         if(GPIORead(SDO))
366         {
367             Result |= 1;
368         }
369         GPIOWrite(SCK, true);
370         GPIOWrite(SCK, true);
371         GPIOWrite(SCK, false);
372         GPIOWrite(SCK, false);

```

```
373 }
374
375 GPIOWrite(nSEL, true);
376 return Result;
377 }
378
379 void DAC1Init(void)
380 {
381     Nucleo_SetPinGPIO(GPIOA, 4, ioPortAnalog); // DAC1/1
382     Nucleo_SetPinGPIO(GPIOA, 5, ioPortAnalog); // DAC1/2
383
384     if(!(RCC->APB1ENR & RCC_APB1ENR_DAC1EN))
385     {
386         RCC->APB1ENR |= RCC_APB1ENR_DAC1EN;
387         RCC->APB1RSTR |= RCC_APB1RSTR_DAC1RST;
388         RCC->APB1RSTR &= ~RCC_APB1RSTR_DAC1RST;
389     }
390
391     DAC1->CR = 0; // clear all
392     DAC1->CR |= DAC_CR_BOFF1; // output buffer enabled
393     DAC1->CR |= DAC_CR_BOFF2; // output buffer enabled
394     DAC1->CR |= DAC_CR_EN1; // DAC1/1 en.
395     DAC1->CR |= DAC_CR_EN2; // DAC1/2 en.
396 }
397
398 void DAC2Init(void)
399 {
400     Nucleo_SetPinGPIO(GPIOA, 6, ioPortAnalog); // DAC2/1
401
402     if(!(RCC->APB1ENR & RCC_APB1ENR_DAC2EN))
403     {
404         RCC->APB1ENR |= RCC_APB1ENR_DAC2EN;
405         RCC->APB1RSTR |= RCC_APB1RSTR_DAC2RST;
406         RCC->APB1RSTR &= ~RCC_APB1RSTR_DAC2RST;
407     }
408
409     DAC2->CR = 0; // clear all
410     DAC2->CR |= DAC_CR_BOFF1; // = OUTEN1 = DAC ch1 output switch enabled
411     DAC2->CR |= DAC_CR_EN1; // DAC2/1 en.
412 }
413
414 void TIM3Init(void)
415 {
416     if(!(RCC->APB1ENR & RCC_APB1ENR_TIM3EN)) // TIM3 nutno povolit hodiny ?
417     {
418         RCC->APB1ENR |= RCC_APB1ENR_TIM3EN;
419         RCC->APB1RSTR |= RCC_APB1RSTR_TIM3RST;
420         RCC->APB1RSTR &= ~RCC_APB1RSTR_TIM3RST;
421     }
422
423     TIM3->CR1 = TIM_CR1_DIR; // DIR = 1 - count-down
424     TIM3->CR2 = 0; // nic spec.
425     TIM3->PSC = 64; // 1 us
426     TIM3->ARR = 1850 - 1; // 1.85 ms
427
428     TIM3->DIER |= TIM_DIER_UIE; // povol vznik preruseni z periferie
429     NVIC_EnableIRQ(TIM3_IRQn); // povol zpracovani v NVICu
430
431     TIM3->CR1 |= TIM_CR1_CEN; // spusteni TIM3
432 }
433
434 int Usart2Send(char c)
```

```
435 {
436     while(!(USART2->ISR & USART_ISR_TXE)) // cekej dokud neni volny TDR
437         ;
438     USART2->TDR = c; // zapis do Transmit Data Registru k odeslani
439     return c;
440 }
441
442 void Usart2String(char *txt)
443 {
444     while(*txt)
445     {
446         Usart2Send(*txt);
447         txt++;
448     }
449 }
450
451 int Usart2Recv(void)
452 {
453     while(!(USART2->ISR & USART_ISR_RXNE)) // cekej dokud neco neprijde do RDR
454         ;
455     return USART2->RDR; // vyciti a vrat jako hodnotu
456 }
457
458 bool IsUsart2Recv(void) // priznak, ze je neco v bufferu
459 {
460     return (USART2->ISR & USART_ISR_RXNE) != 0; // podminka vynuti true / false
461 }
462
463 void Usart2Init(int baudSpeed)
464 {
465     Nucleo_SetPinGPIO(GPIOA, 2, ioPortAlternatePP);
466     Nucleo_SetPinAFGPIO(GPIOA, 2, 7); // AF7 je USART2
467     Nucleo_SetPinGPIO(GPIOA, 15, ioPortAlternatePP);
468     Nucleo_SetPinAFGPIO(GPIOA, 15, 7); // AF7 je USART2
469
470
471     if(!(RCC->APB1ENR & RCC_APB1ENR_USART2EN)) // neni povolen USART2
472     {
473         RCC->APB1ENR |= RCC_APB1ENR_USART2EN;
474         RCC->APB1RSTR |= RCC_APB1RSTR_USART2RST;
475         RCC->APB1RSTR &= ~RCC_APB1RSTR_USART2RST;
476     }
477
478     USART2->CR1 = USART_CR1_RE | USART_CR1_TE; // staci povoleni prijmu a vysilani
479     USART2->CR2 = 0; // nic specialniho
480     USART2->CR3 = 0; // nic specialniho
481
482     // TODO doplnit vypocet BRR podle pozadovaneho Baud-rate a podle clocku
483     // POZOR USART2 je pripojen na APB1 sbernici => pro tak procesoru 64MHz je 32MHz
484     USART2->BRR = (4 << 4) // USARTDIV = 4.340277778 pro 64MHz a 460800Bd, 8.680555556 pro
64MHz a 230400Bd, 13.020833333 pro 8MHz a 38400Bd
485         | 5; // USARTDIV = fCLK / (baud x 8 x (2 - OVER8))
486         // mantisa = 4 (posunuta o 4 bity vlevo)
487         // fraction = 5 (zaoktuhleno na 5/16)
488
489     USART2->CR1 |= USART_CR1_UE; // povolen blok USARTu
490
491     // zrusit bufferovani vystupu i vstupu
492     setvbuf(stdout, NULL, _IONBF, 0);
493     setvbuf(stdin, NULL, _IONBF, 0);
494 }
495
```